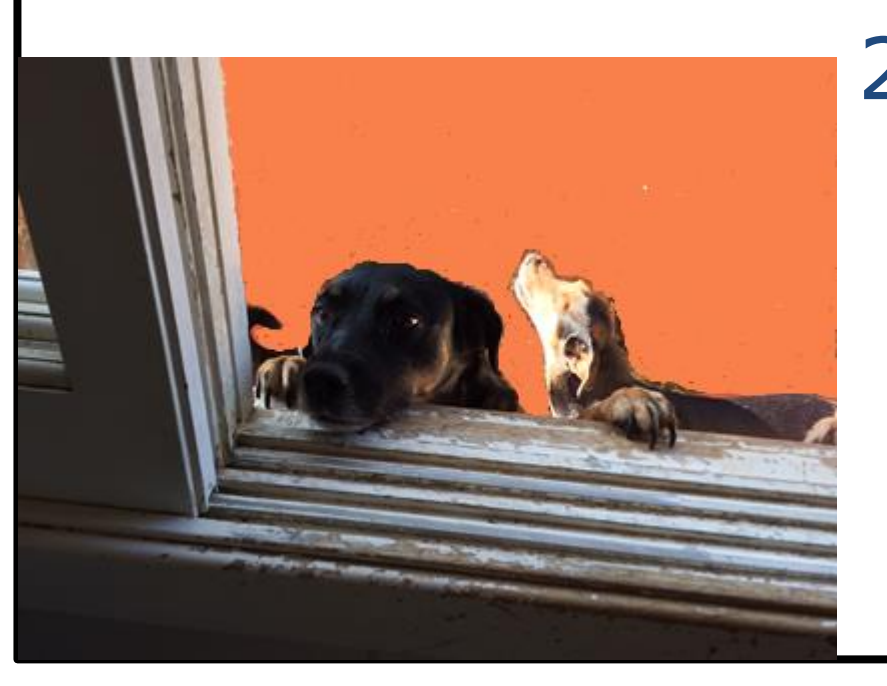
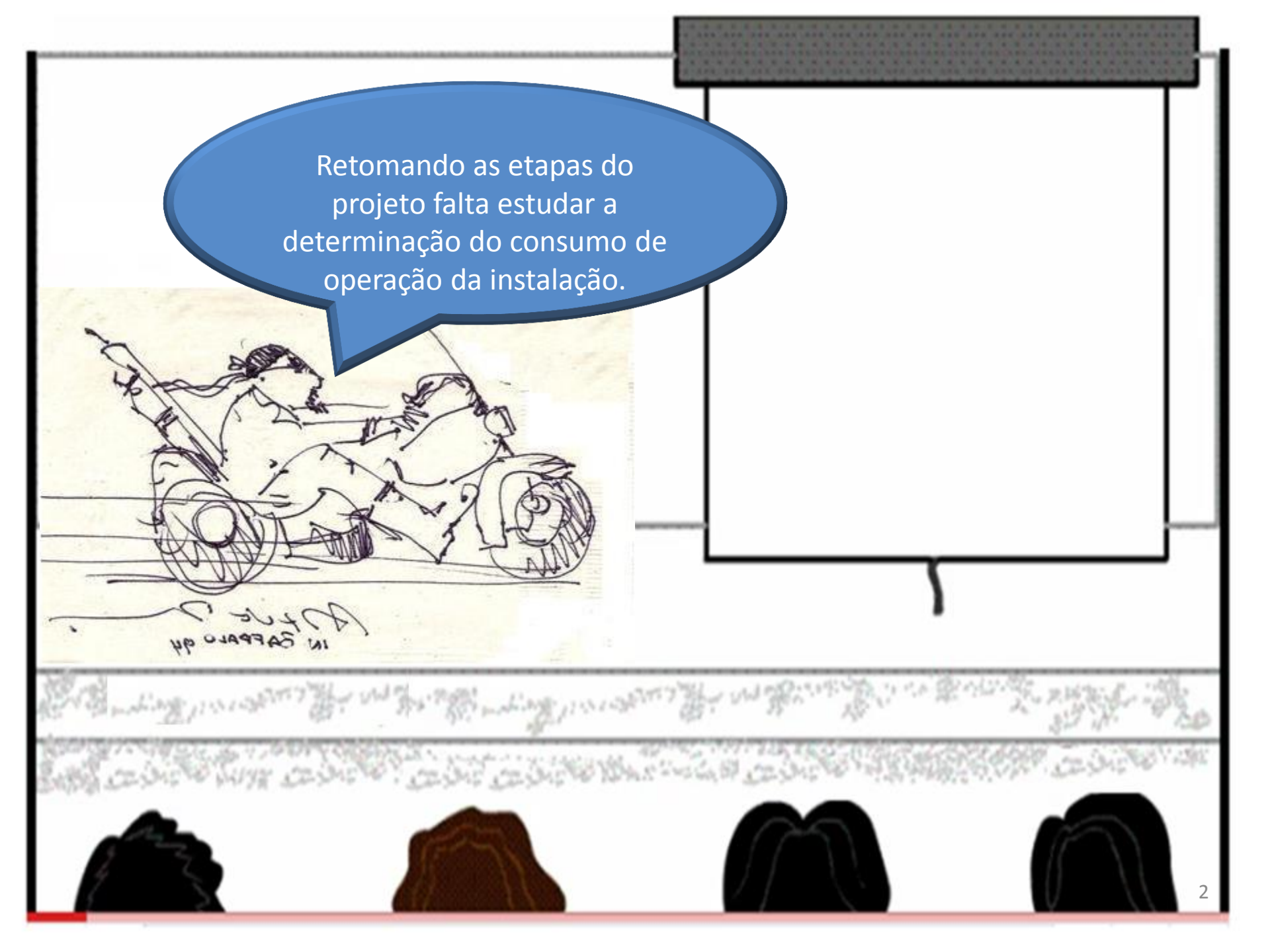
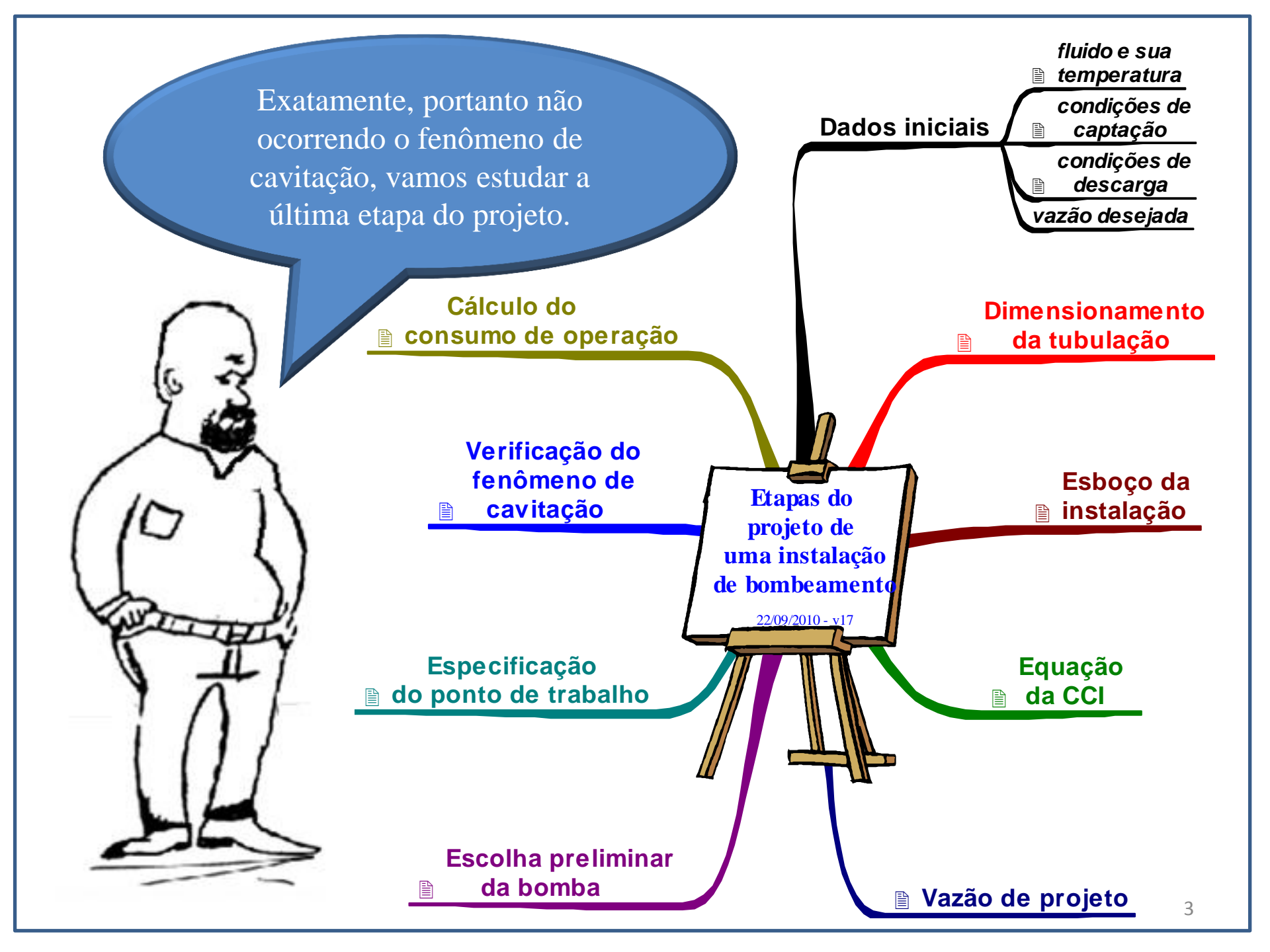
Décima primeira aula de ME5330

Primeiro semestre de











A potência mecânica é a grandeza física que determina a quantidade de energia concedida por uma fonte a cada unidade de tempo



$$N_{mec} = \frac{\Delta E}{\Delta t} = \frac{\Delta (F \times s)}{\Delta t} = F \times v$$

$$v = \frac{2\pi nr}{60}$$

C = conjugado (ou torque)

$$C = F \times r$$

r = raio do rotor

$$N_{\text{mec}} = C \times \frac{2\pi}{60} \times n = F \times r \times \frac{2\pi}{60} \times n$$

Velocidade de rotação síncrona (ns)



$$n_s = \frac{120 \times f}{p} \rightarrow [f] = Hz$$

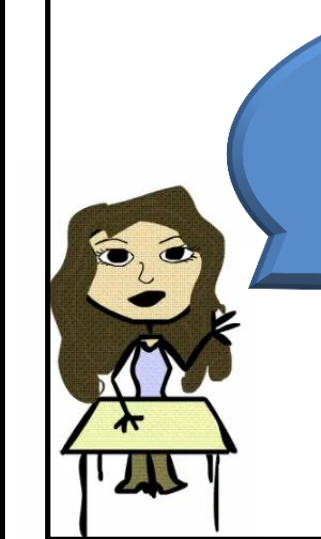
p = número de pólos

2 p'olos = 3600 rpm

 $4 p \acute{o}los = 1800 rpm$

6 p'olos = 1200 rpm

 $8 \,\mathrm{p\'olos} = 900 \,\mathrm{rpm}$



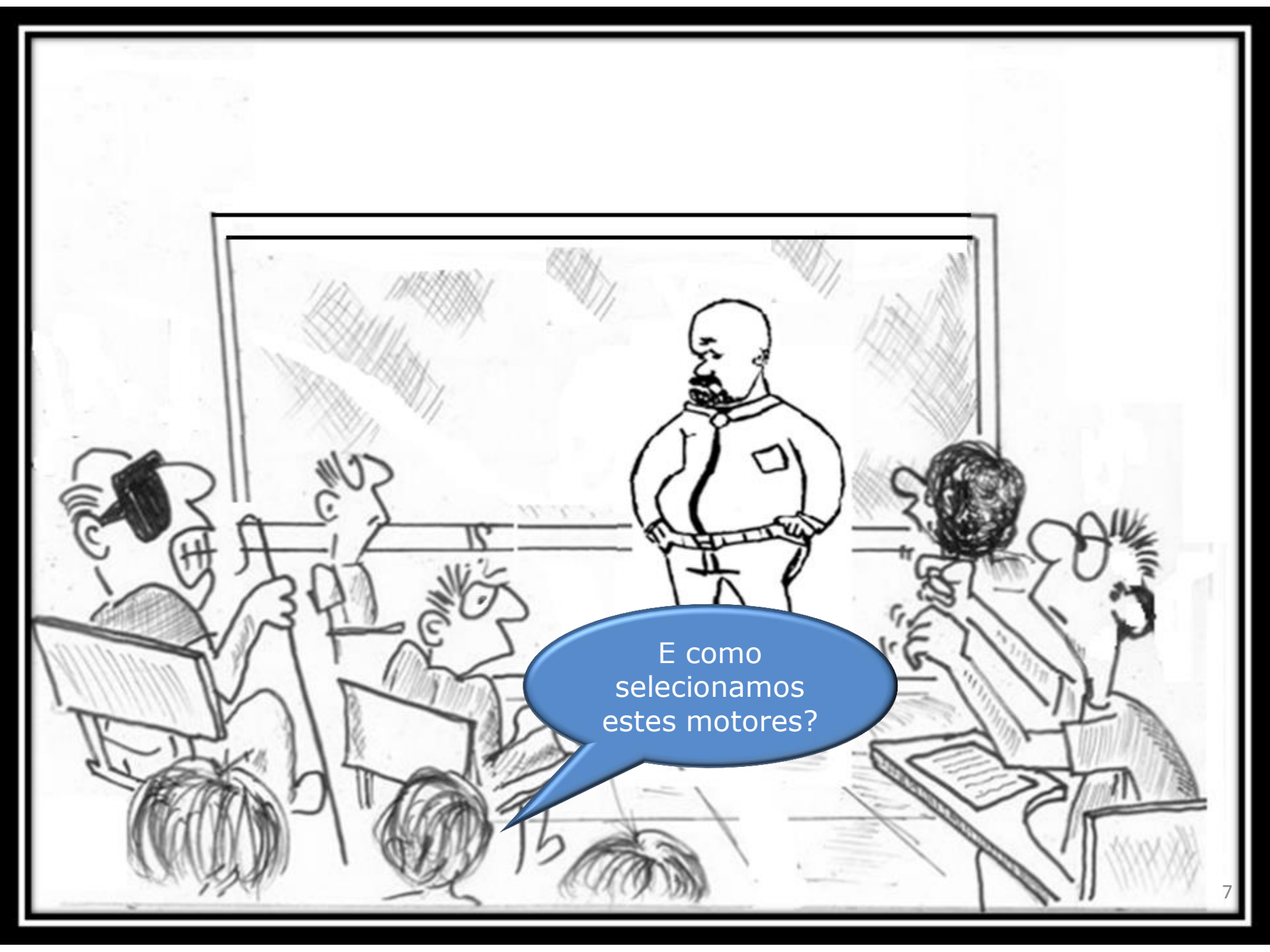
Geralmente os motores síncronos só são usados para potências > que 500CV







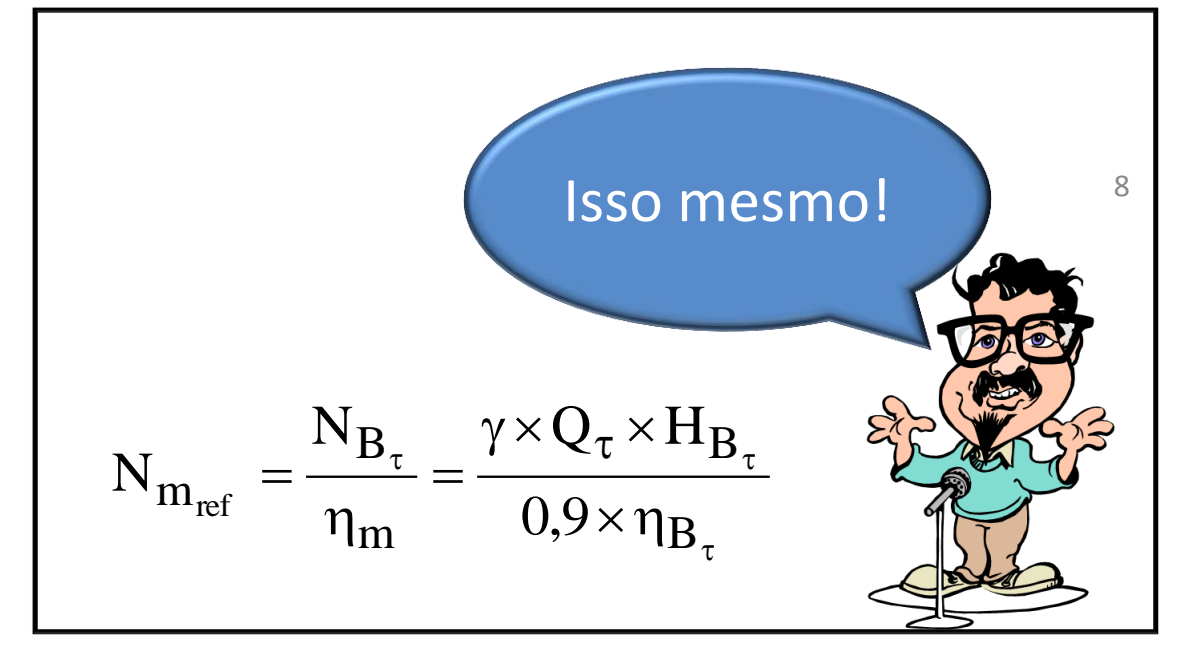
Sim e a diminuição é originada pelo escorregamento (s), que geralmente é da ordem de 3 a 5% $n = n_s \times \left(1 - \frac{s}{100}\right)$

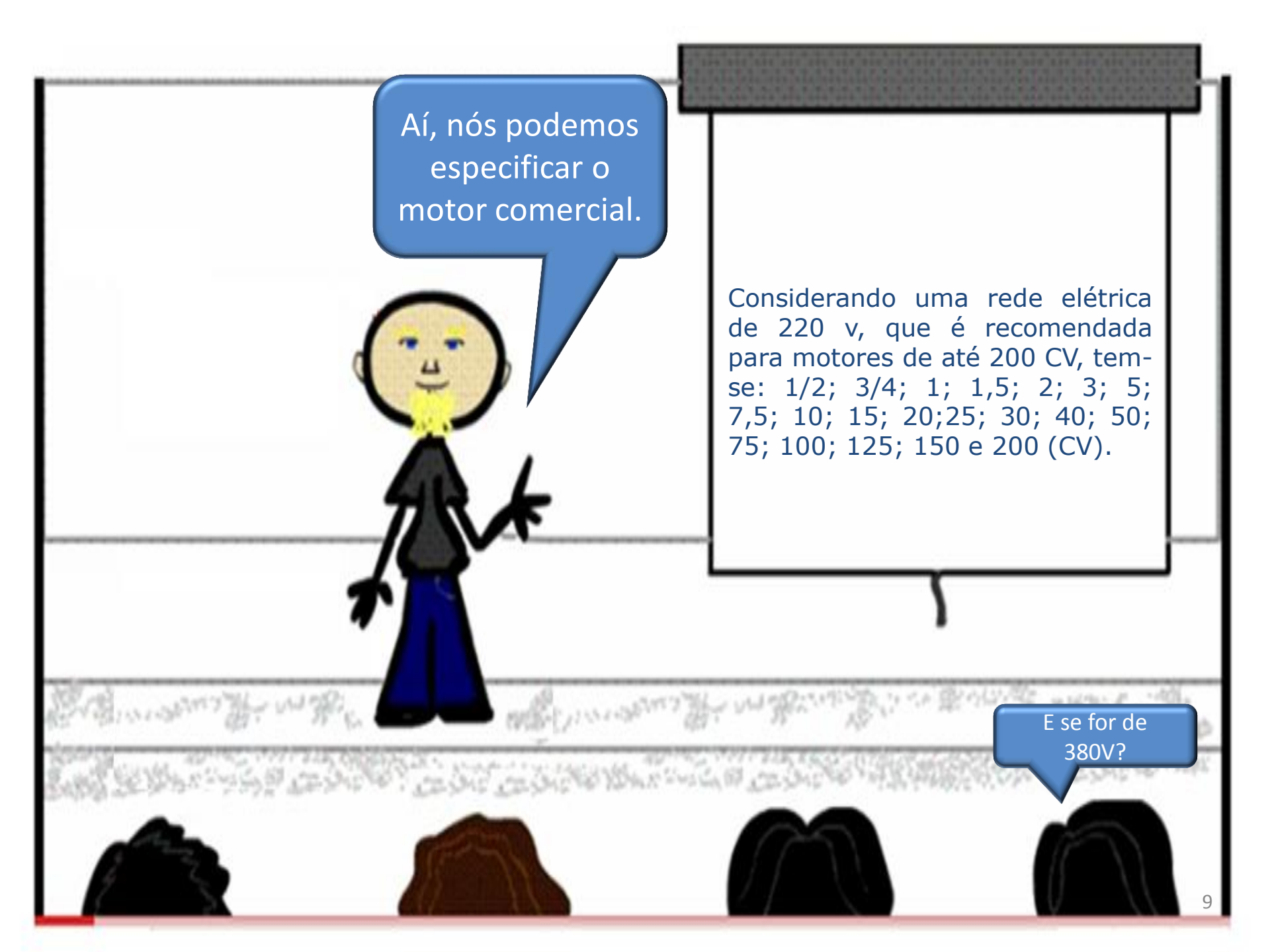


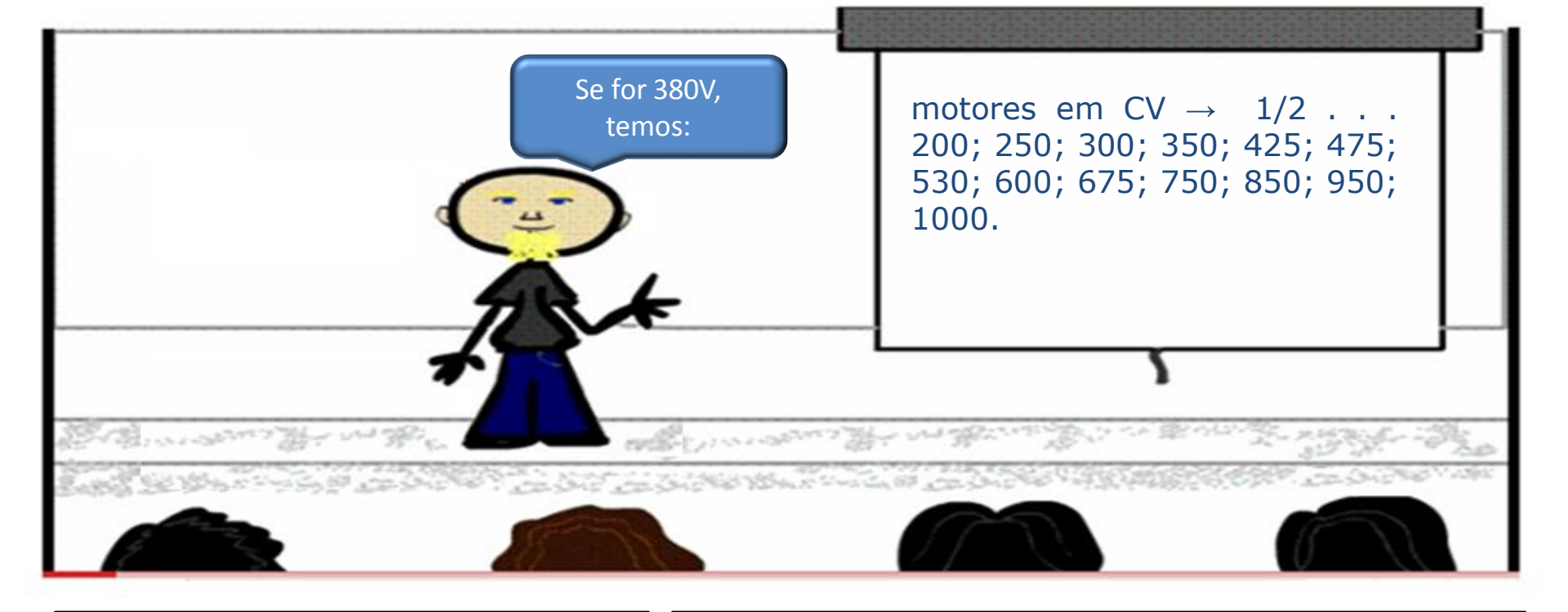














Sim, mas podemos também calcular o rendimento real do motor elétrico!

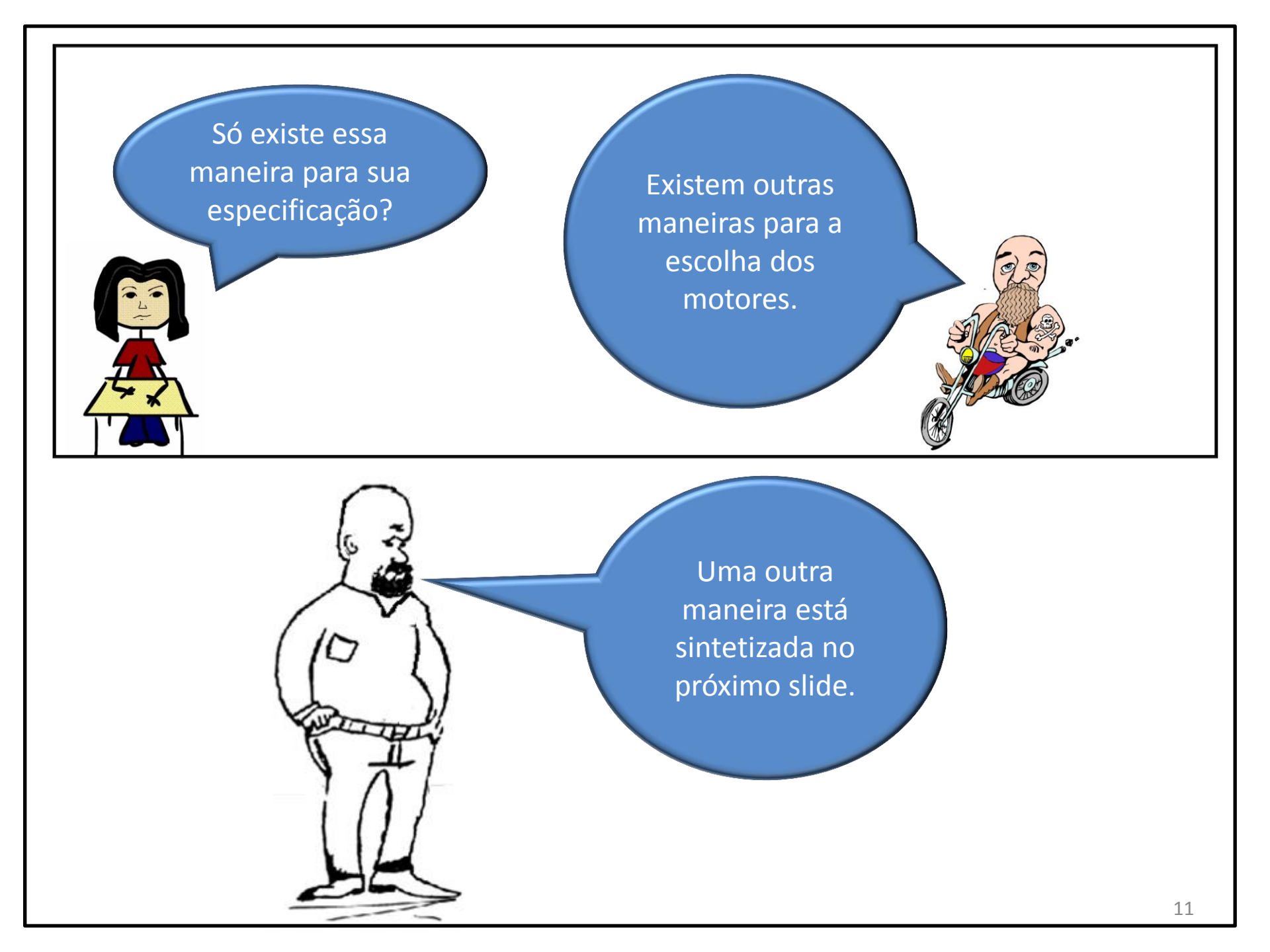


$$\eta_{m_{real}} = \frac{N_{B_{\tau}}}{N_{m_{comercial}}}$$

 $Consumo_{energia}_{ex.mensal} = A$

$$A = N_{m_{comercial}}(kW) \times a \left(\frac{h}{dia}\right) \times b \left(\frac{dia}{mes}\right)$$

10



O motor que aciona a bomba deverá trabalhar sempre com uma folga ou margem de segurança a qual evitará que o mesmo venha, por uma razão qualquer, operar com sobrecarga. Portanto, recomenda-se que a potência necessária ao funcionamento da bomba (N_B) seja acrescida de uma folga, conforme especificação a seguir (para motores elétricos):

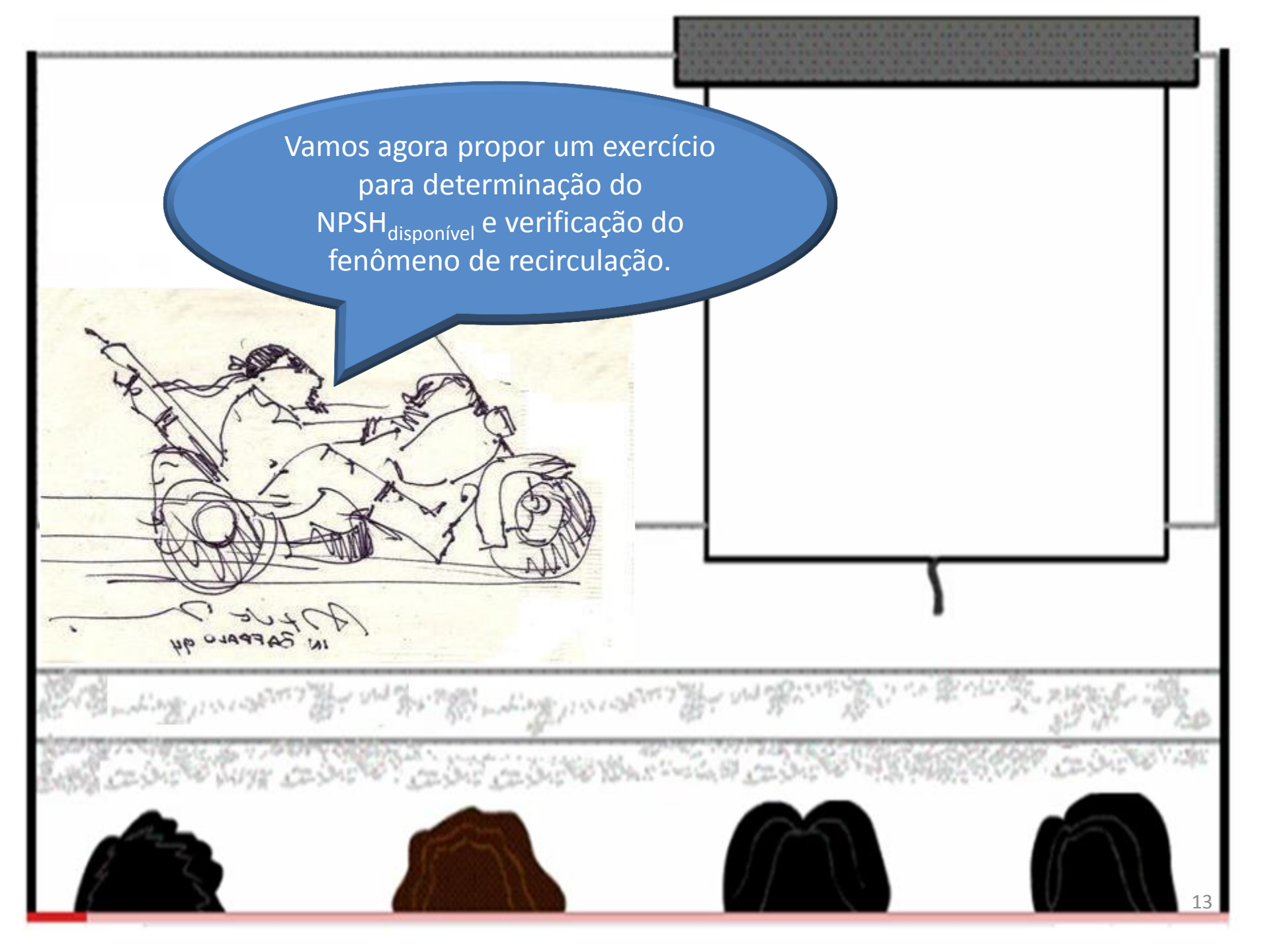
Potência exigida pela Bomba (N_B) Margem de segurança recomendada (%)

até 2 cv	50%
de 2 a 5 cv	30%
de 5 a 10 cv	20%
de 10 a 20 cv	15%
acima de 20 cv	10%

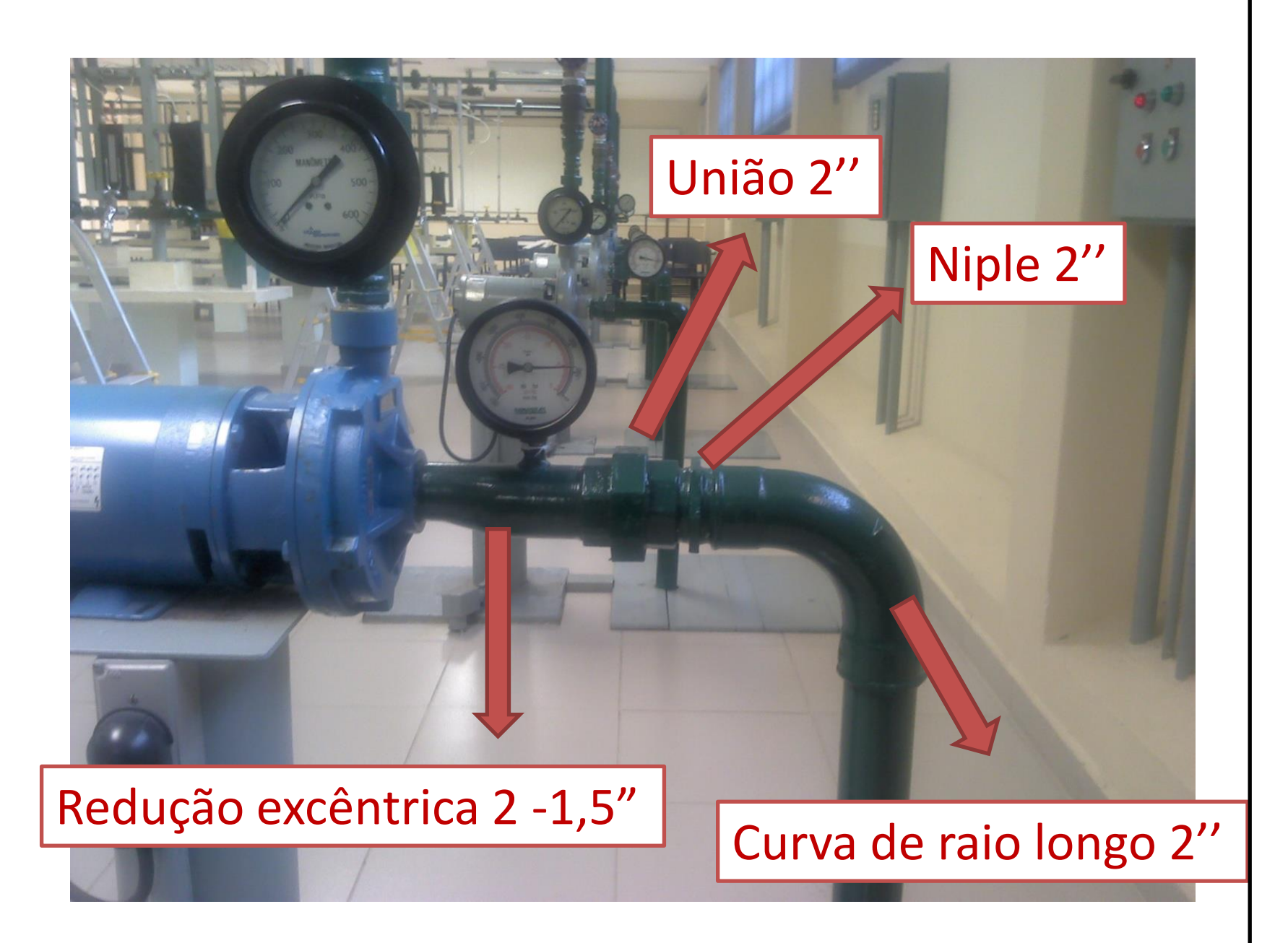
Para motores a óleo diesel recomenda-se uma margem de segurança de 25% e a gasolina, de 50% independente da potência calculada.

A TABELA ACIMA PODE SER LIDA NA PÁGINA 69 DO LIVRO BOMBAS E INSTALAÇÕES DE BOMBEAMENTO ESCRITO POR A. J. MACINTYRE E EDITADO PELA LTC EM 2008.

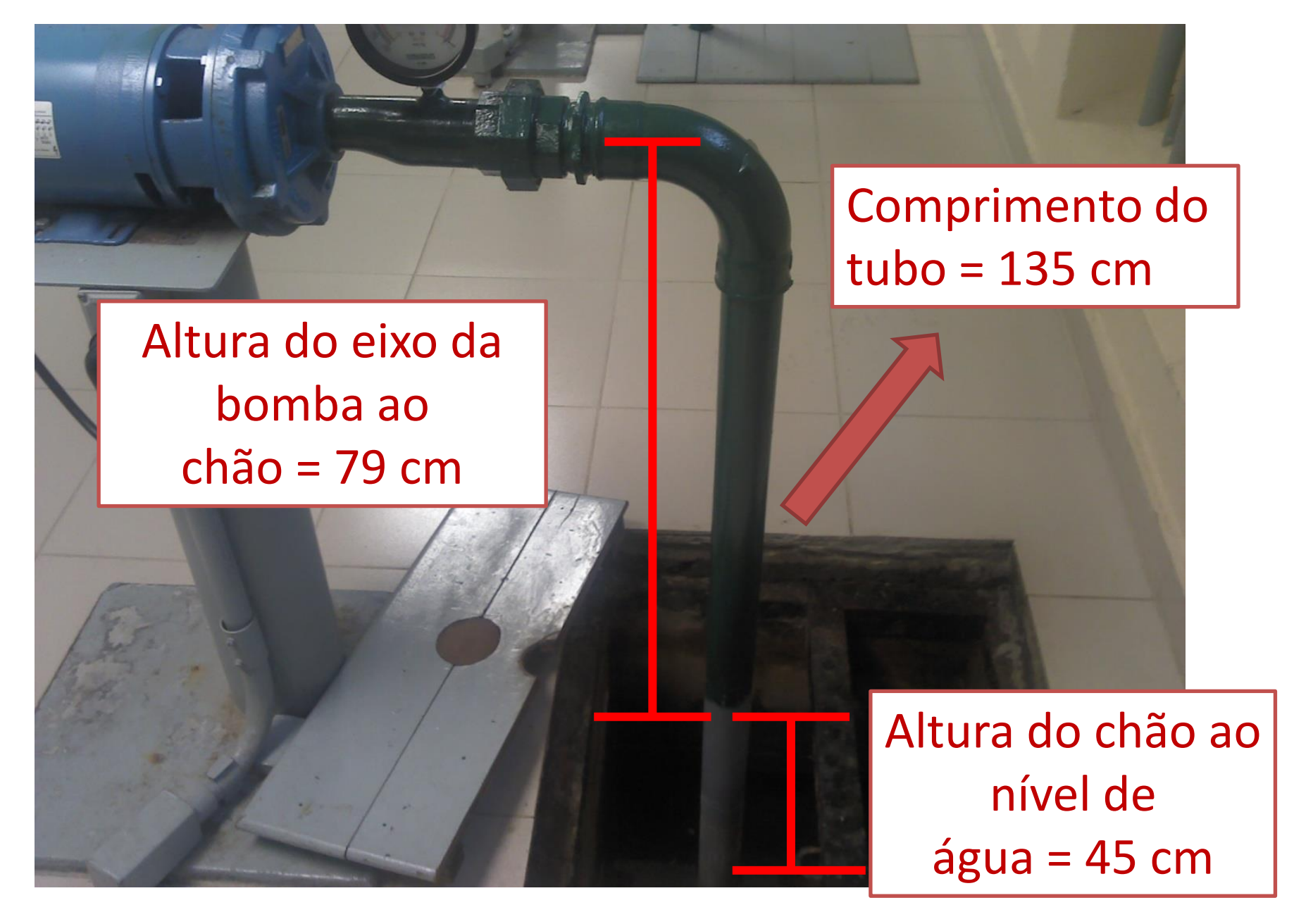




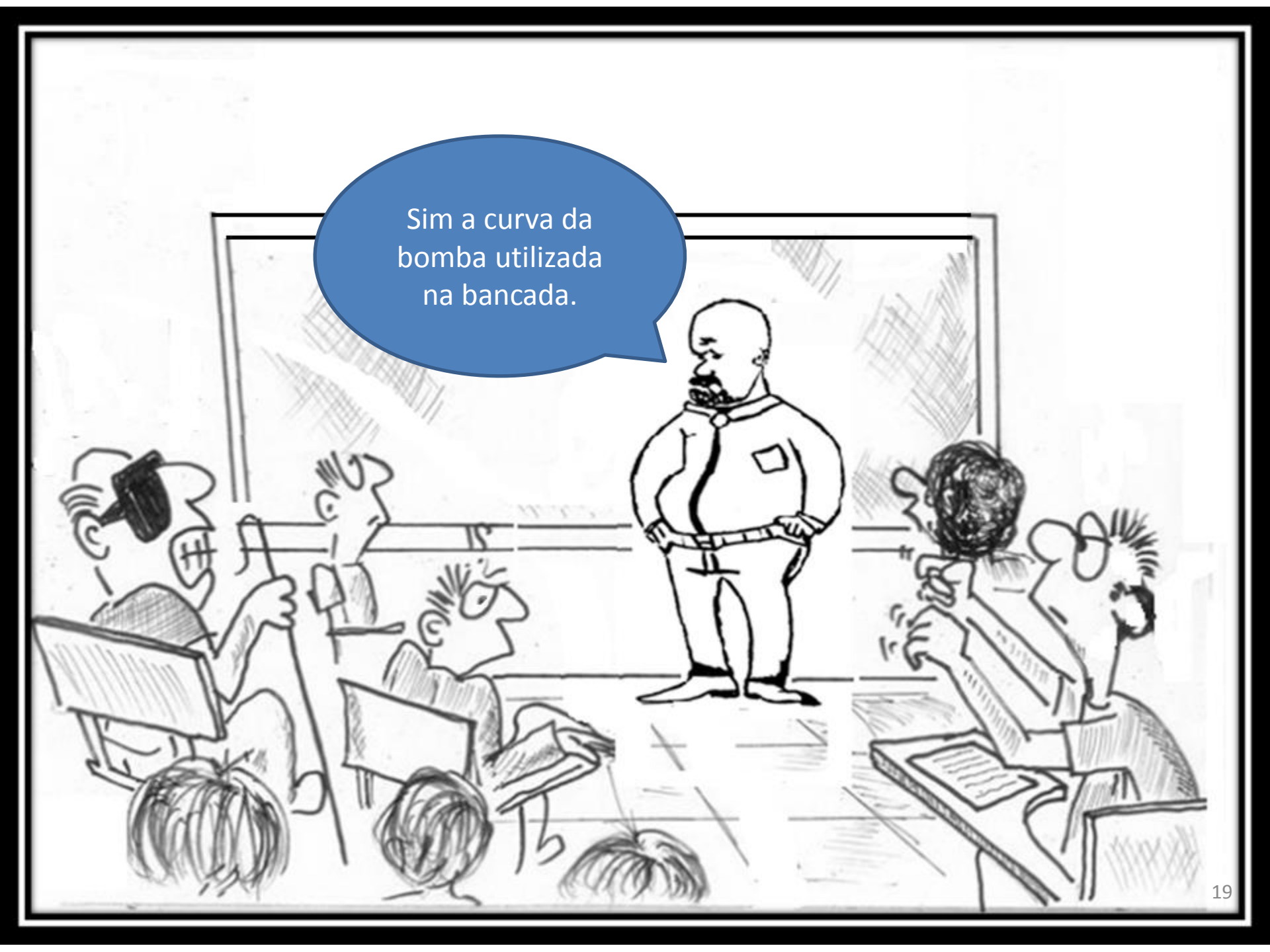












Bancada 6 do laboratório - sala ISO1 do Centro Universitário da FEI

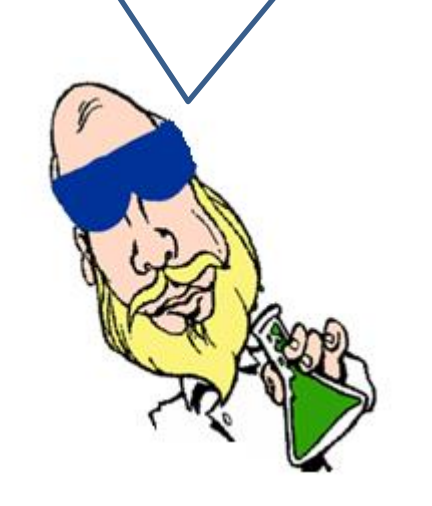


MODELO	CV	14	16	18	20	22	24	26	28	30	35	40	45
RF-5	1.5	12,0	11,0	10,5	10,0	9,5	9,0	8,0	7,0	5,0			
RF-6	2.0	S)		12,8	12,5	12,0	11,5	11,0	10,5	9,6	7,0		8
RF-7	3.0	3			0.	V 8	- e		13,5	12,8	11,5	9,2	6,0

No nosso caso é a RF - 6

RUDC INDÚSTRIA E COMÉRCIO LTDA

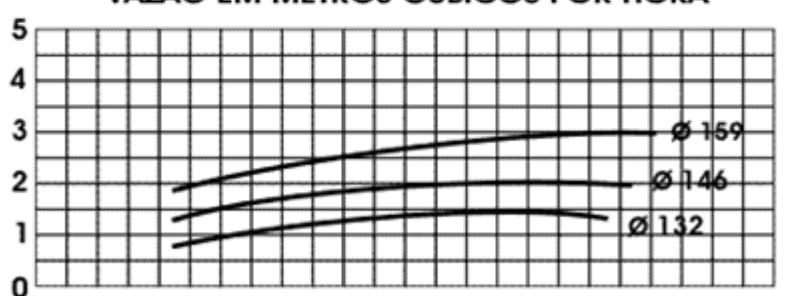
CURVA RF

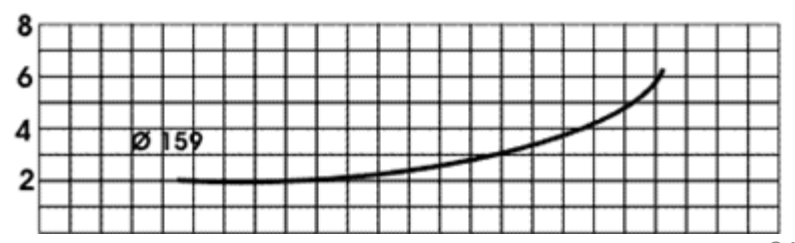


POTÊNCIA (CV)

NPSH (METROS)

VAZÃO EM METROS CÚBICOS POR HORA

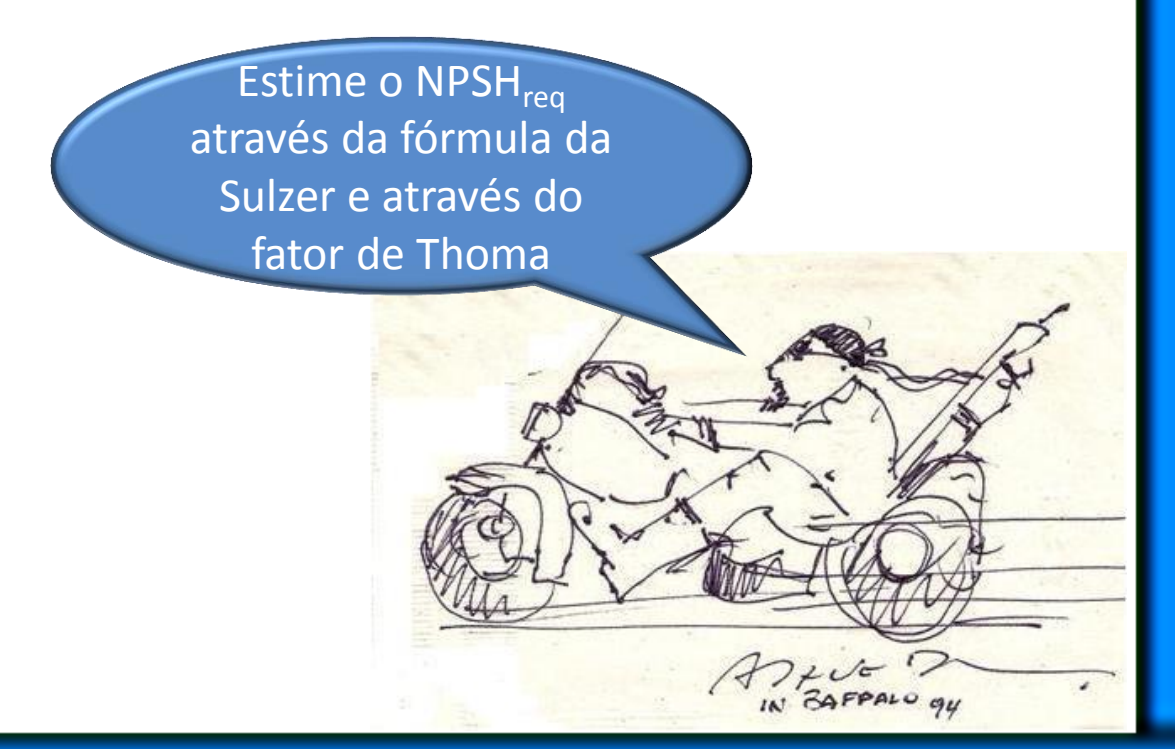




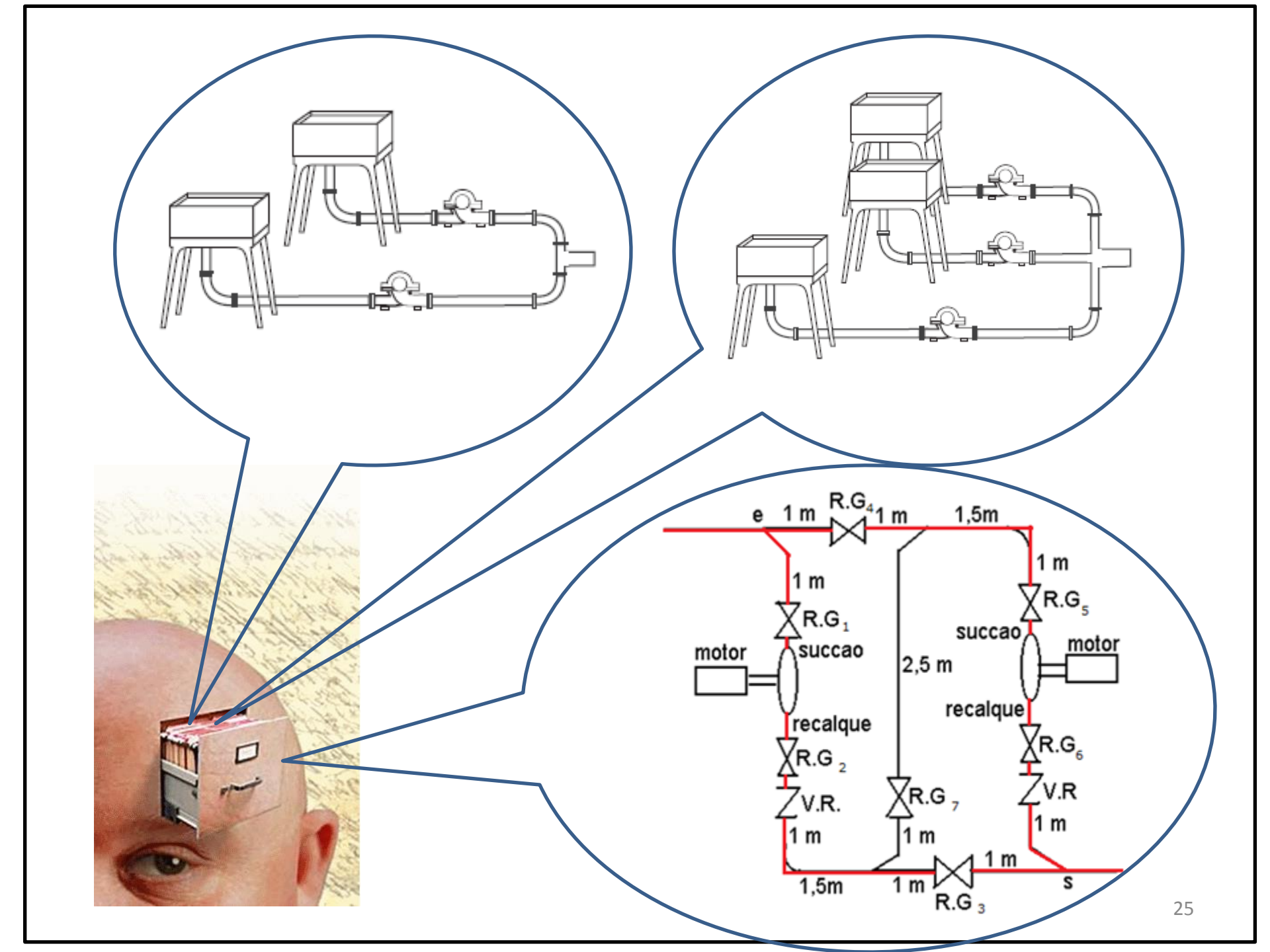


72º – Uma bomba de 1750 rpm transporta água a 40ºC através de uma carga manométrica de 45,5 m num local com pressão barométrica igual a 700 mmHg. Nesta condição de funcionamento a pressão manométrica medida através de um manovacuômetro é -395 mmHg e a velocidade na sua entrada é igual a 1,5 m/s. Verifique a existência, ou não, do fenômeno de cavitação; estime o rendimento da bomba e escolha o motor elétrico adequado para acionar a bomba.

Dado: tubulação antes da bomba de aço 40 com diâmetro nominal igual a 3".



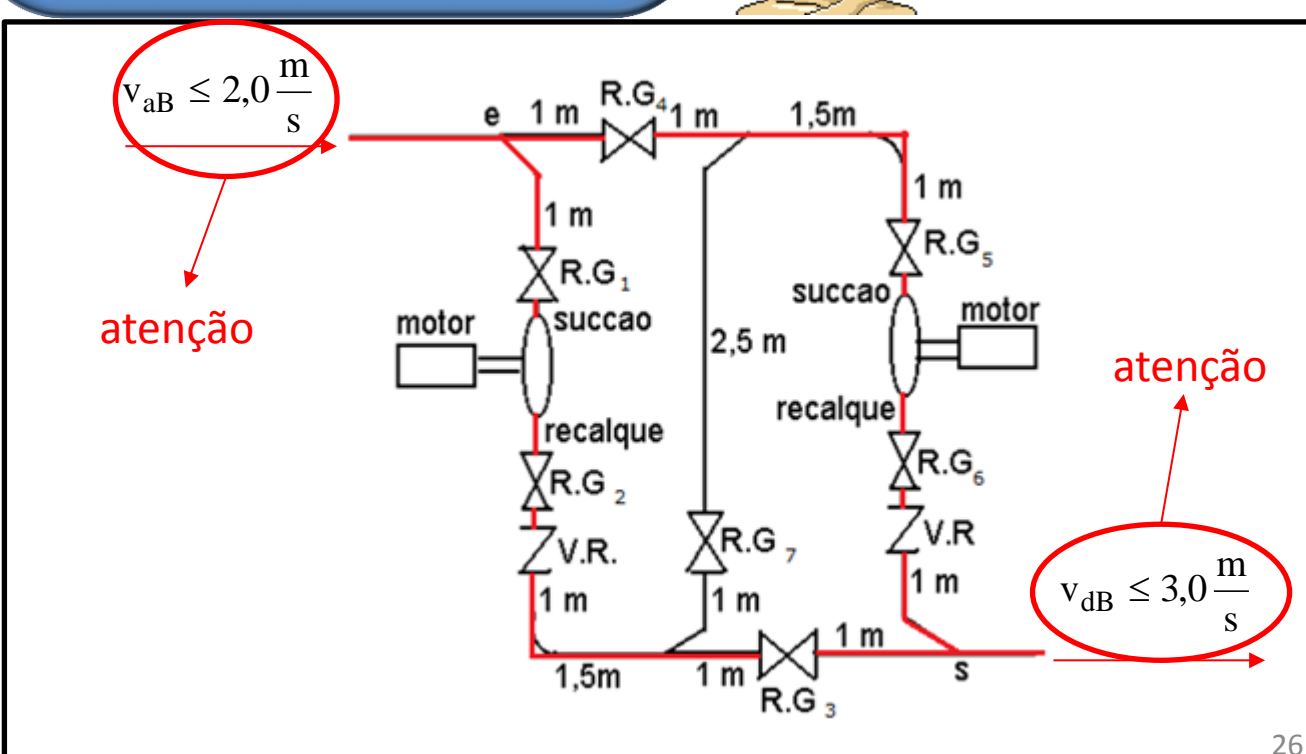




Aqui é importante se pensar na alimentação pela tubulação do centro, pois se houver acentuadas perda de carga na linha, o aumento da vazão com duas ou mais bombas em paralelo será pequeno e, portanto, pouco compensador.

A figura abaixo
especifica as
recomendações
para as
velocidades em
uma associação
em paralelo.





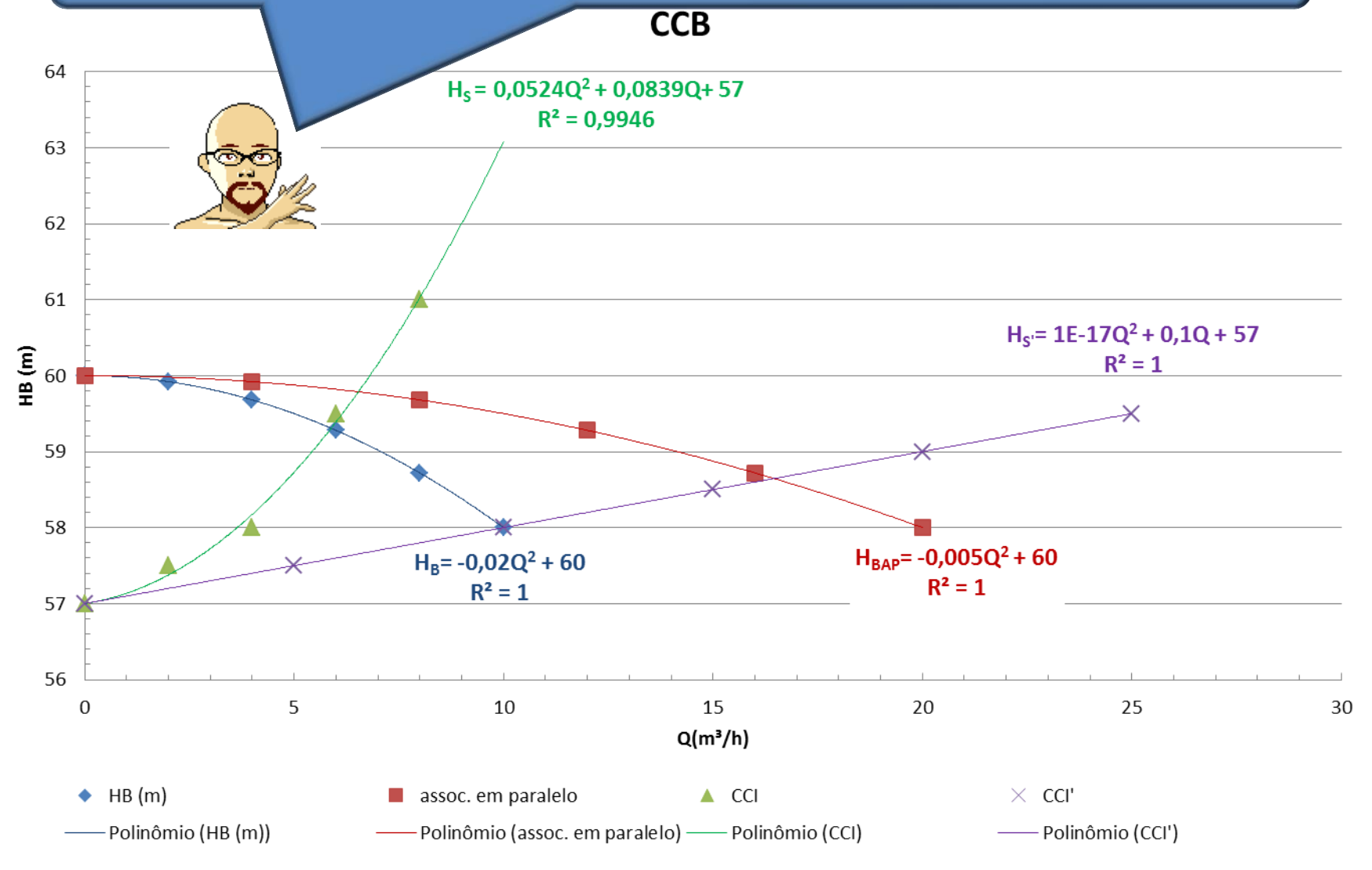


O próximo slide objetiva possibilitar a visualização do que foi mencionado anteriormente, lembrando que para a obtenção da curva $H_{Bap} = f(Q_{ap})$, devemos para a mesma carga manométrica somar as vazões.

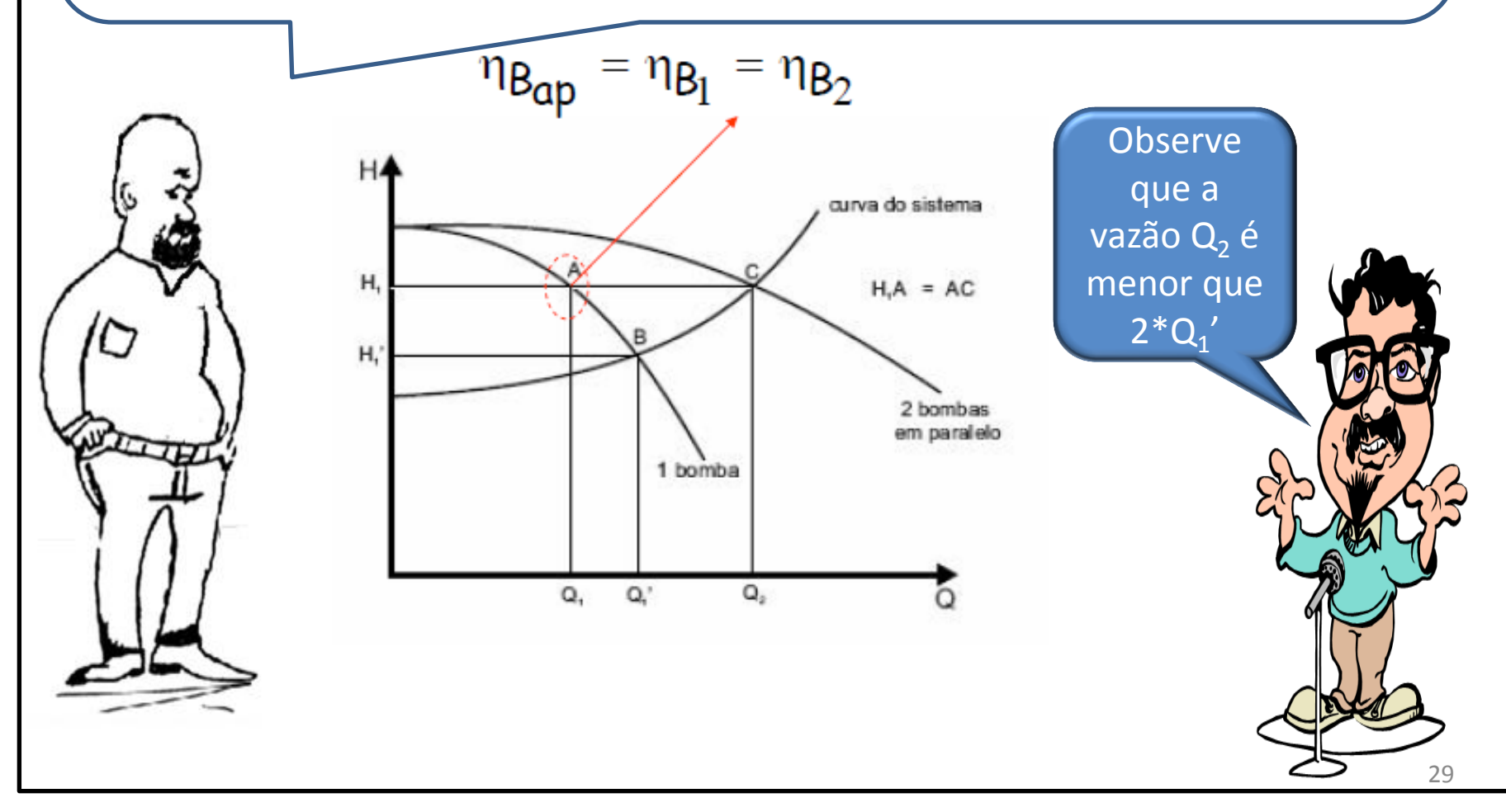
$$H_{B_{ap}} = H_{B_{B1}} = H_{B_{B2}}$$

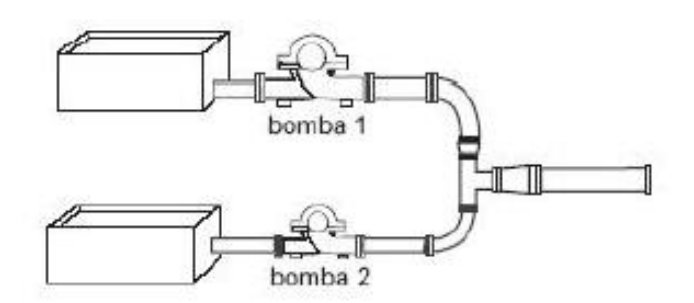
$$Q_{ap} = Q_{B1} + Q_{B2}$$





Na associação de bombas hidráulicas iguais, tem-se a curva característica da associação obtida como mencionado no slide anterior e como mostrado a seguir:

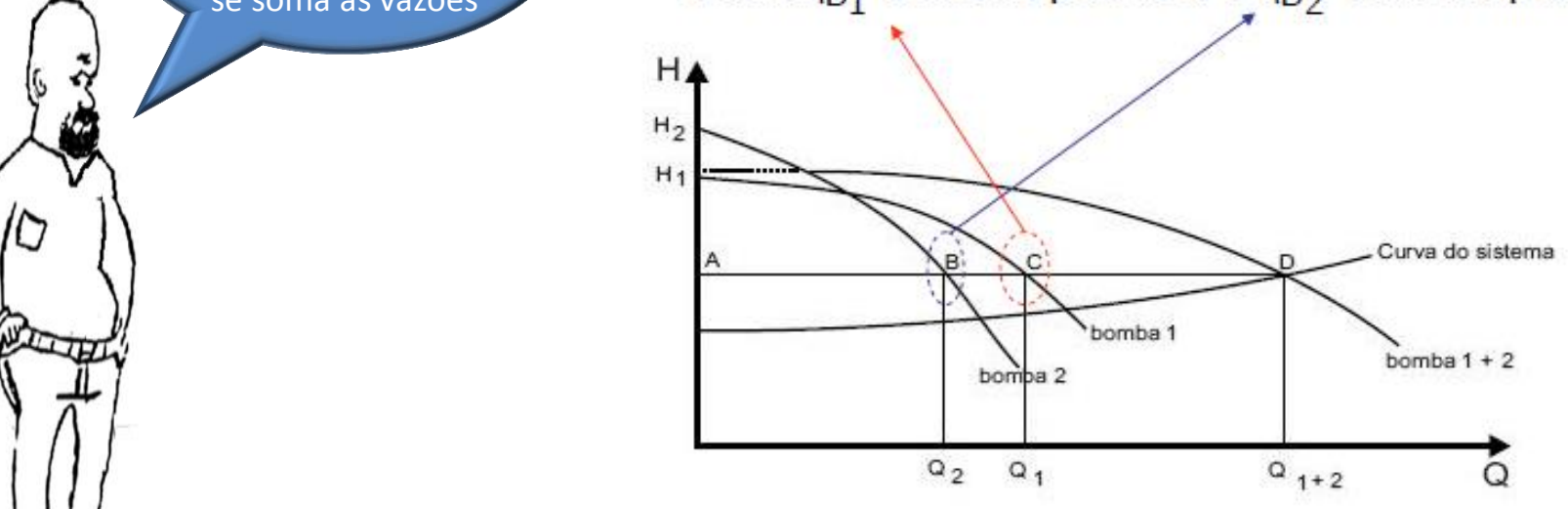




Bombas diferentes o procedimento é o mesmo, ou seja, para o mesmo HB se soma as vazões

$$\eta_{\text{Bap}} = \frac{Q_{\text{ap}}}{\frac{Q_1}{\eta_{\text{B1}}} + \frac{Q_2}{\eta_{\text{B2}}}}$$

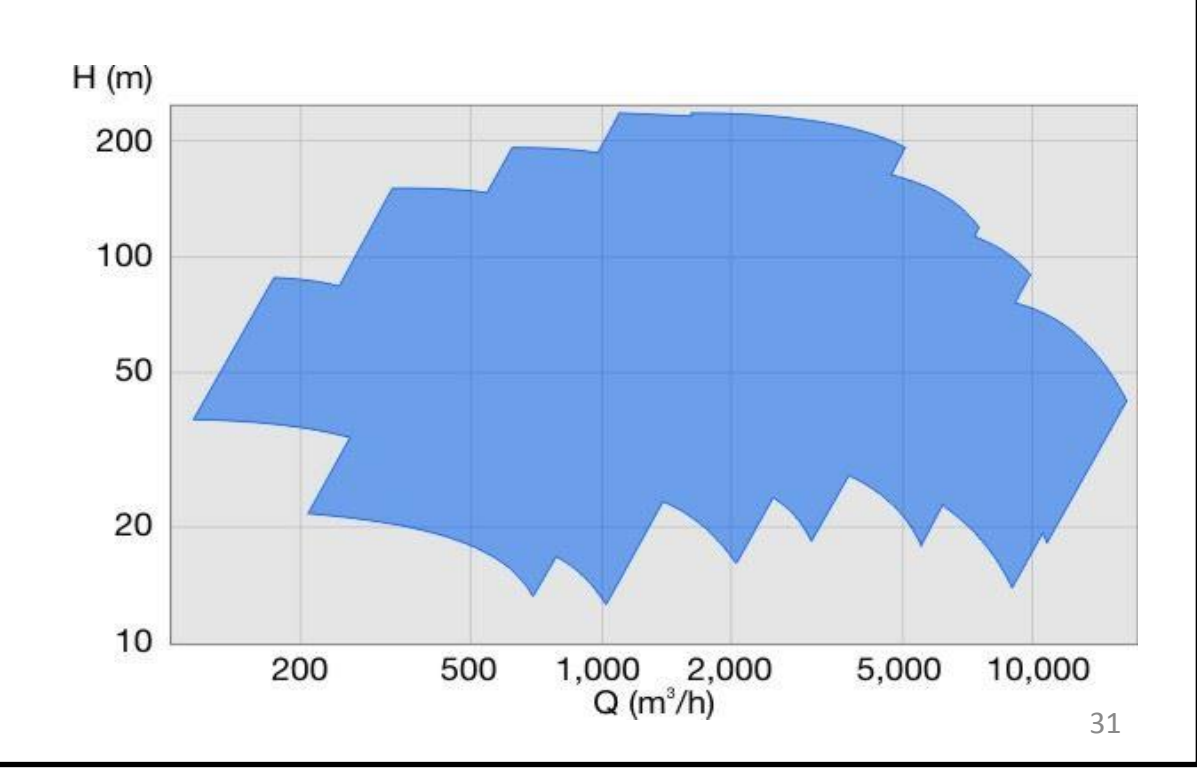
onde η_{B_1} se lê no ponto C e η_{B_2} se lê no ponto B





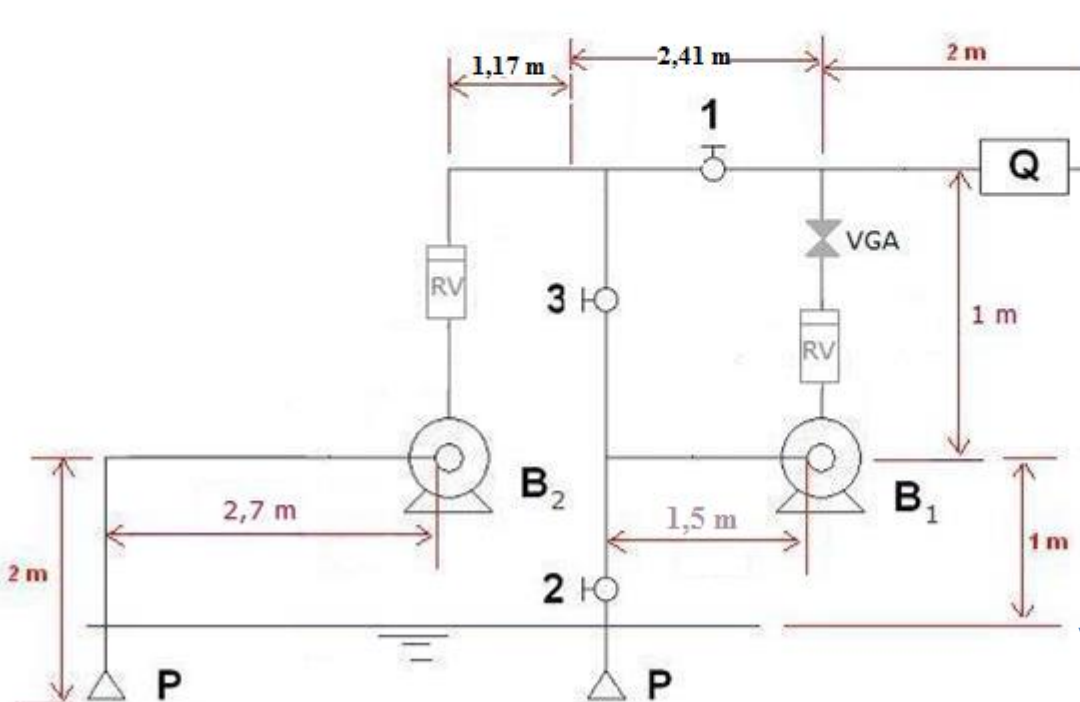
BOMBAS DE DUPLA SUCÃO OU ADMISSÃO PODEM SUBSTITUIR AS ASSOCIAÇÕES EM PARALELO DE DUAS BOMBAS.





87º - Considere a instalação ao lado, que pode operar só com uma bomba, com bombas associadas em série e paralelo.

Sabe-se que as bombas são iguais e que a tubulação é de aço 40 com um único diâmetro nominal de 1,5" (K=4,6 x 10⁻⁵ m), que as válvulas são da MIPEL e os demais acessórios são da Tupy e que o medidor de vazão (**Q**) é um Venturi com coeficiente de vazão igual a 0,98 e área da garganta igual a 25 mm.



As singularidades 1, 2, 3, 4 e 5 são válvulas esferas de passagem plena, RV válvula de retenção vertical da MIPEL e VGA é válvula globo angular sem quia da MIPEL

0.75 m

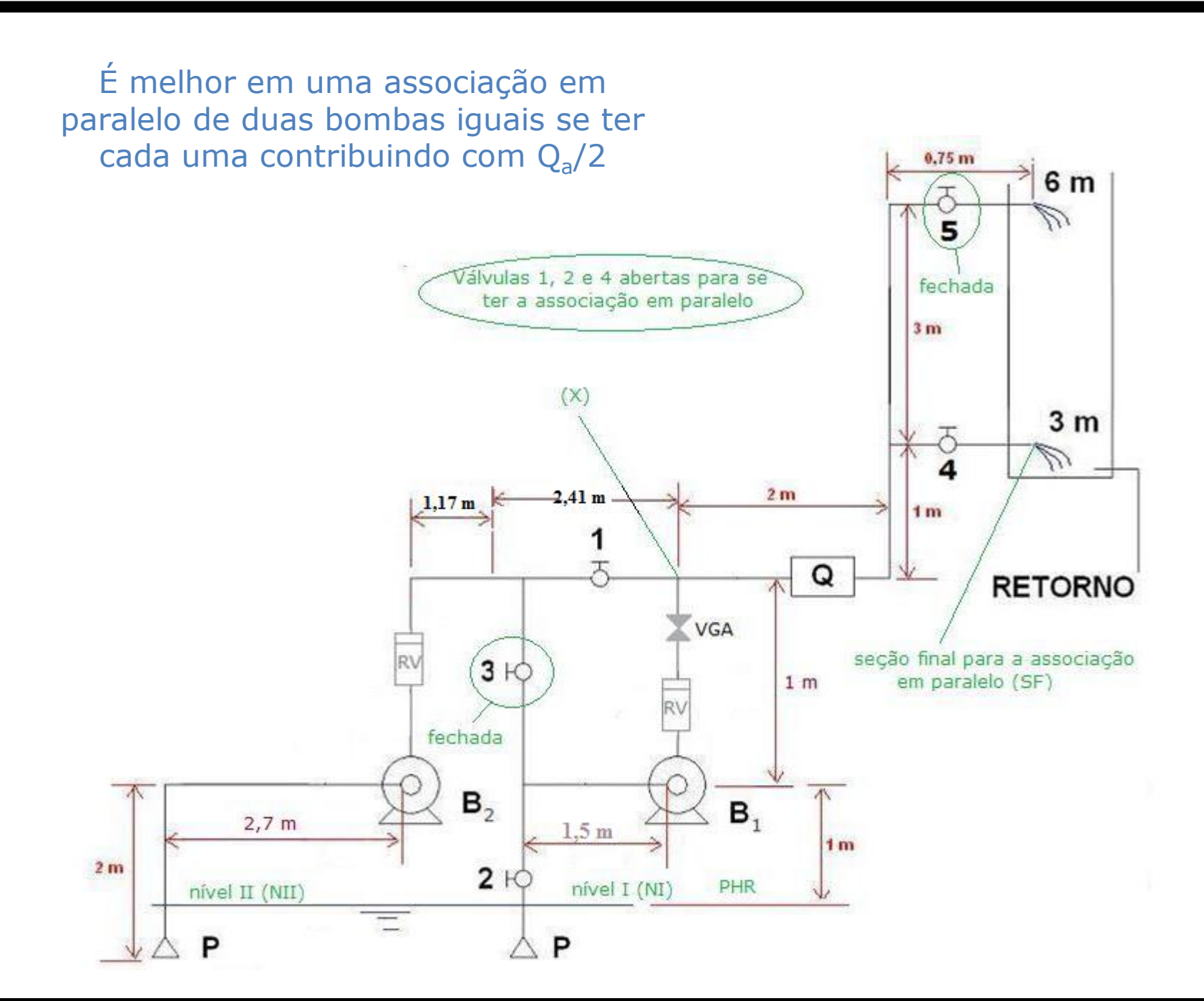
3 m

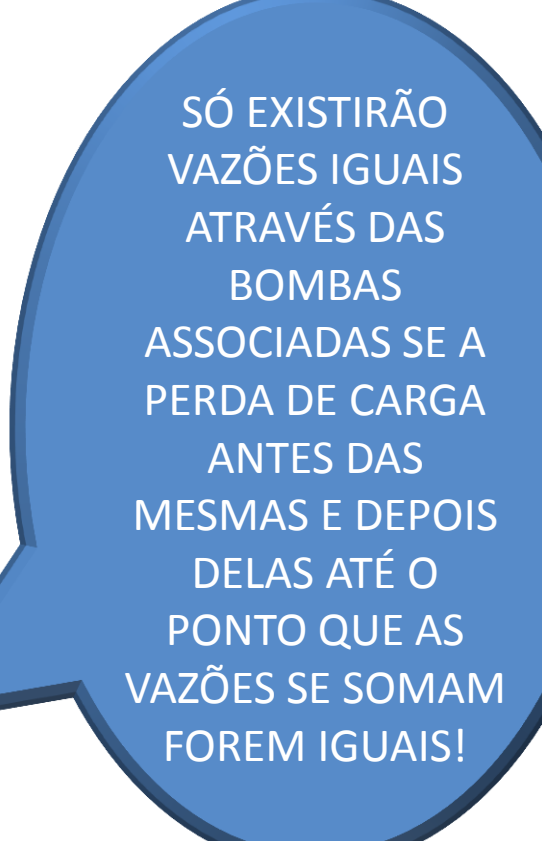
1 m

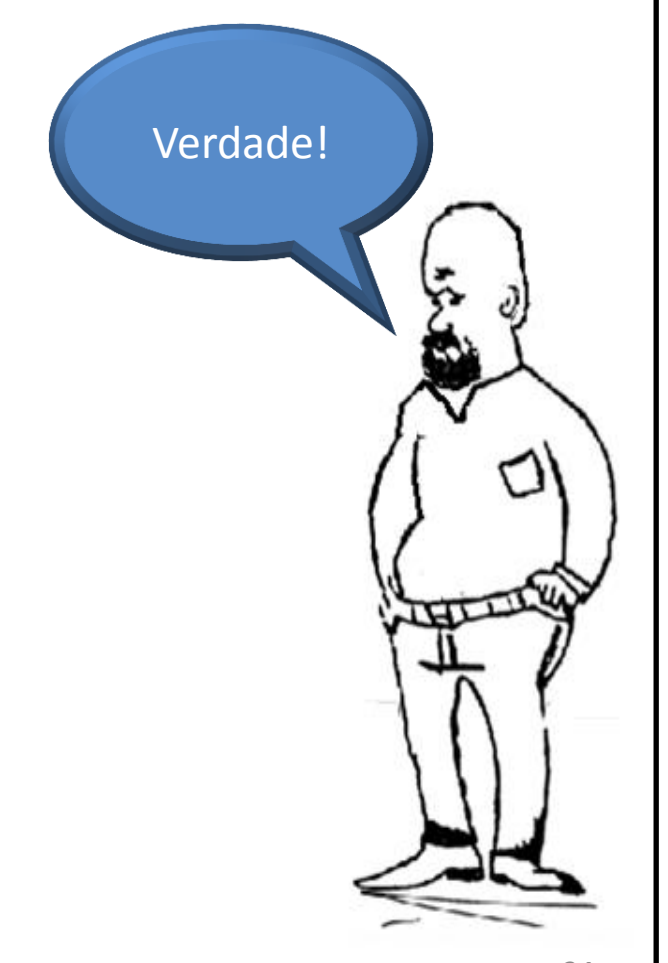
6 m

3 m

RETORNO









singularidade Leq (m) Válvula globo angular sem guia 5,79 válvula de pé com 17,07 crivo cotovelo de 90° 1,41 válvula de retenção 17,07 T de saída lateral 2,06 T de passagem direta 0,25 T de saída 2,50 bilateral válvula esfera 0,55 venturi K_{Sventuri} Saída de tub. 1,0

Para demonstrar as condições anteriores, consideramos os dados a seguir:



D (mm)	A (cm²)
40,8	13,1

g (m/s²)	9,8

$$K_{\text{SVenturi}} = \left[\frac{1}{C_{\text{v}}^2} - 1\right] \times \left[1 - \left(\frac{A_{\text{G arg anta}}}{A_{\text{Tubo}}}\right)^2\right]$$

$$K_{\text{SVenturi}} = \left[\frac{1}{0.98^2} - 1 \right] \times \left[1 - \left(\frac{25}{40.8} \right)^4 \right]$$

$$K_{SVenturi} \cong 0.0355$$

35

Perdas de NI até a entrada da bomba B₁

$$H_{p_{a}B_{1}} = f \times \frac{(3.5 + 17.07 + 0.55 + 2.06)}{0.0408} \times \frac{Q_{1}^{2}}{2 \times 9.8 \times (13.1 \times 10^{-4})^{2}}$$

$$H_{paB_1} = f \times 16890970,59 \times Q_1^2$$

Perdas de NII até a entrada da bomba B₂

$$H_{paB_2} = f \times \frac{(4,7+17,07+1,41)}{0,0408} \times \frac{Q_2^2}{2 \times 9,8 \times (13,1 \times 10^{-4})^2}$$

$$H_{paB_2} = f \times 16890970,59 \times Q_2^2$$

Perdas da saída da bomba B₁ até (X)

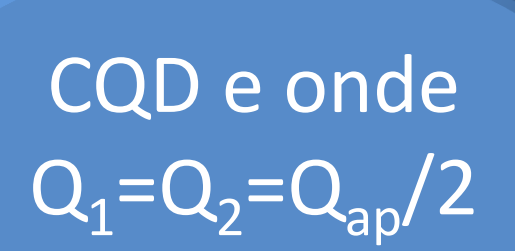
$$H_{p_{S_{B_1}-X}} = f \times \frac{\left(1 + 17,07 + 5,79\right)}{0,0408} \times \frac{Q_1^2}{2 \times 9.8 \times \left(13,1 \times 10^{-4}\right)^2}$$

$$H_{p_{S_{B_1}-X}} = f \times 17386477,93 \times Q_1^2$$

Perdas da saída da bomba B₂ até (X)

$$H_{p_{8}B_{2}-X} = f \times \frac{\left(1+17,07+1,41+1,17+0,25+0,55+2,41\right)}{0,0408} \times \frac{Q_{2}^{2}}{2 \times 9,8 \times \left(13,1 \times 10^{-4}\right)^{2}}$$

$$H_{p_{S}B_{2}-X} = f \times 17386477,93 \times Q_{2}^{2}$$







Obtendo a equação da CCI

$$\gamma \times \frac{Q_{ap}}{2} \times H_{NI} + \gamma \times \frac{Q_{ap}}{2} \times H_{NII} + \gamma \times \frac{Q_{ap}}{2} \times H_{B1} + \gamma \times \frac{Q_{ap}}{2} \times H_{B1} = \gamma \times Q_{ap} \times H_{SF} + \sum N_{dissipadas}$$

$$\sum N_{dissipadas} = \gamma \times \frac{Q_{ap}}{2} \times H_{paB1} + \gamma \times \frac{Q_{ap}}{2} \times H_{paB2} + \gamma \times \frac{Q_{ap}}{2} \times H_{psB1-X} + \gamma \times \frac{Q_{ap}}{2} \times H_{psB2-X} + \gamma \times Q_{ap} \times H_{pX-SF}$$

Agora é aplicar no exercício proposto

$$\begin{split} H_{S} &= H_{SF} + \frac{1}{2} \times 16890970, 59 \times f_{Qap_{2}} \times \left(\frac{Q_{ap}}{2}\right)^{2} + \frac{1}{2} \times 16890970, 59 \times f_{Qap_{2}} \times \left(\frac{Q_{ap}}{2}\right)^{2} + \\ & \frac{1}{2} \times 17386477, 93 \times f_{Qap_{2}} \times \left(\frac{Q_{ap}}{2}\right)^{2} + \frac{1}{2} \times 17386477, 93 \times f_{Qap_{2}} \times \left(\frac{Q_{ap}}{2}\right)^{2} + H_{pX-SF} \\ H_{pX-SF} &= f_{Qap} \times \frac{\left(2 + 1 + 0,75 + 2,5 + 1,41 + 2,06 + 0,55 + 1\right)}{0,0408} \times \frac{Q_{ap}^{2}}{2 \times 9,8 \times \left(13,1 \times 10^{-4}\right)^{2}} \\ &+ 0,0355 \times \frac{Q_{ap}^{2}}{2 \times 9,8 \times \left(13,1 \times 10^{-4}\right)^{2}} \\ H_{pX-SF} &= f_{Qap} \times 8212305, 4 \times Q_{ap}^{2} + 1055, 5 \times Q_{ap}^{2} \\ H_{SF} &= 3 + \frac{\alpha_{sf} \times Q_{ap}^{2}}{2 \times 9,8 \times \left(13,1 \times 10^{-4}\right)^{2}} = 3 + \alpha_{sf} \times 29730, 5 \times Q_{ap}^{2} \end{split}$$

$$H_{S} = 3 + \alpha_{sf} \times 29730, 5 \times Q_{ap}^{2} + 8569362, 2 \times f_{Qap} \times Q_{ap}^{2} + 8212305, 4 \times f_{Qap} \times Q_{ap}^{2} + 1055, 5 \times Q_{ap}^{2}$$

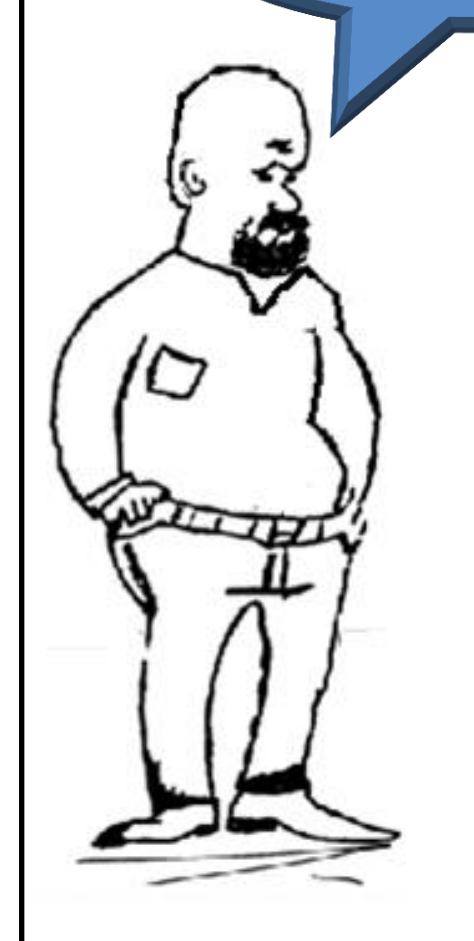
Dados do fabricante:



CCB FABRICANTE						
Q (m³/h) H _B (m) η (%)						
0	26	_				
2	26,8	52				
4	26,3	54				
6	24,6	55,5				
8	21,5	56				
10	17,1	56				
12	11,5	55,5				
14	4,5	54				
14,5	2,6					

Construíndo a CCB

CCB FABRICANTE



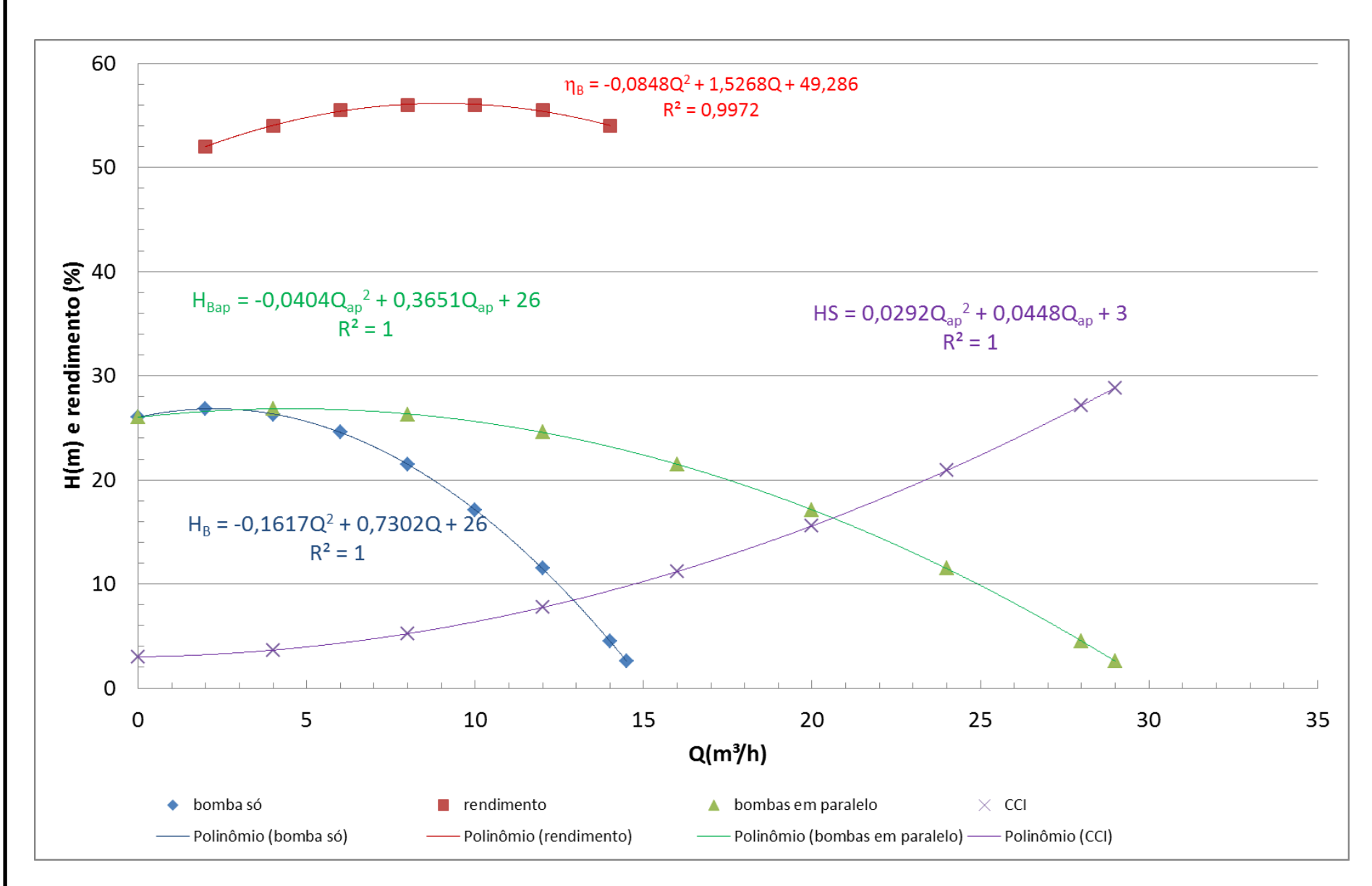
Q (m ³ /h)	Q_{ap} (m 3 /h)	H _B (m)	η (%)	
0	0	26	_	
2	4	26,8	52	
4	8	26,3	54	
6	12	24,6	55,5	
8	16	21,5	56	
10	20	17,1	56	
12	24	11,5	55,5	
14	28	4,5	54	
14,5	29	2,6		





Ao determinar os coeficientes de perda de carga distribuída constatamos que todos os números de Reynolds deram maiores que 4000, portanto α = 1,0 e aí resultou a tabela abaixo que permite obter a representação gráfica da CCB e CCI.

Q (m ³ /h)	Q_{ap} (m^3/h)	H _B (m)	h (%)	f _{Q/2}	f_Q	HS (m)
0	0	26	-	0	0	3
2	4	26,8	52	0,0292	0,0259	3,6
4	8	26,3	54	0,0259	0,0236	5,2
6	12	24,6	55,5	0,0244	0,0227	7,7
8	16	21,5	56	0,0236	0,0222	11,2
10	20	17,1	56	0,0231	0,0219	15,6
12	24	11,5	55,5	0,0227	0,0216	20,9
14	28	4,5	54	0,0224	0,0215	27,1
14,5	29	2,6		0,0224	0,0214	28,9



$$\begin{split} H_S &= H_{Bap} \\ 0,0292Q_{ap}^2 + 0,0448Q_{ap} + 3 = -0,0404Q_{ap}^2 + 0,3651Q_{ap} + 26 \\ 0,0696Q_{ap}^2 - 0,3203Q_{ap} - 23 = 0 \end{split}$$

$$Q_{ap_{\tau}} = \frac{0,3203 + \sqrt{0,3203^2 + 4 \times 0,0696 \times 23}}{2 \times 0,0696} \cong 20,625 \frac{m^3}{h} \approx 20,6 \frac{m^3}{h}$$

$$H_{Bap_{\tau}} = 0.0292 \times 20.6^2 + 0.0448 \times 20.6 + 3 \cong 16.3 \text{m}$$

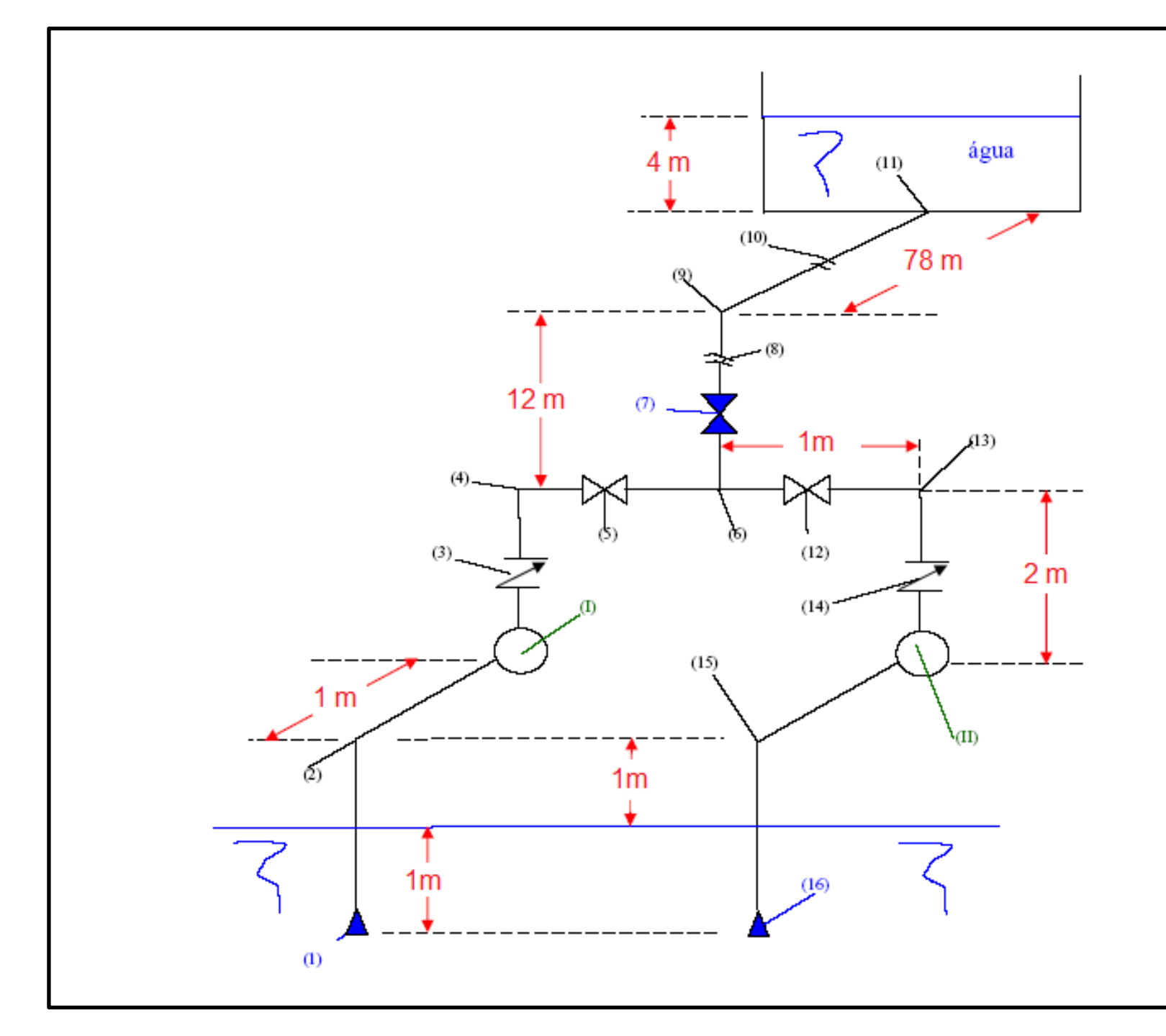
$$\eta_{\rm B} = -0.0848 \times \left(\frac{20.6}{2}\right)^2 + 1.5268 \times \frac{20.6}{2} + 49.286 \cong 56.0\%$$

$$N_{\text{Bap}_{\tau}} = \frac{9782,36 \times \left(\frac{20,6}{3600}\right) \times 16,3}{0,56} \cong 1629,3 \text{W}$$

- 80º A instalação representada a seguir pode operar com uma bomba ou com as duas bombas associadas em paralelo. Sabendo-se que as bombas são iguais que apresentam as características indicadas no diagrama do slide 801, pede-se:
- a. a potência útil do motor elétrico quando apenas uma bomba operar; b. verificar o fenômeno de cavitação para a situação anterior, sabendose que a pressão de vapor da água para a situação descrita é igual a 0,0238 kgf/cm² (abs) e que a leitura barométrica é igual a 700 mmHg; c. o ponto de trabalho para associação em paralelo das bombas;
- d. a verificação do fenômeno de cavitação para esta nova situação.

Dados:

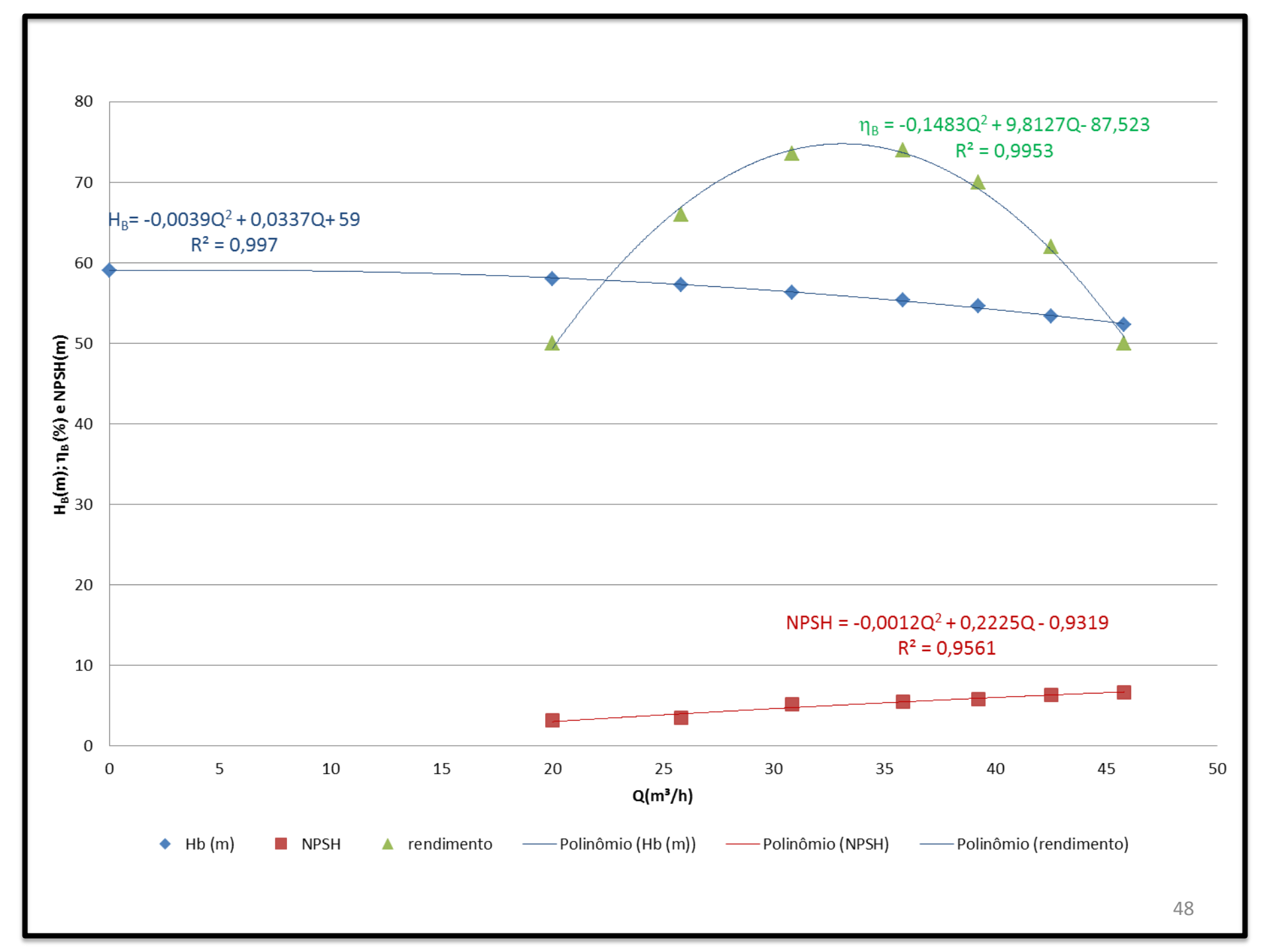
Tubulação de aço 40, que para a sucção tem um diâmetro nominal de 3" $(D_{int} = 77.9 \text{ mm e A} = 47.7 \text{ cm}^2)$ e para o recalque tem um diâmetro nominal de 2,5" $(D_{int} = 62.7 \text{ mm e A} = 30.9 \text{ cm}^2)$, água a 20°C e aceleração da gravidade igual a 9,8 m/s².



- (1) e (16) válvulas de pé com crivo de 3'' Leq = 20 m
- (2) e (15) joelhos fêmeas de 900 e de 3" Leq = 2,82 m
- (4), (9) e (13) joelhos fêmeas de 900 e de 2,5" Leq = 2,35 m
- (3) e (14) válvulas de retenção verticais de 2.5" Leq = 8.1 m
- (5) e (12) válvulas gavetas de 2,5" Leq = 0,4 m
- (6) tê de saída lateral de 2,5" para o funcionamento com uma bomba Leq = 3,43 m
- (6) tê de saída lateral de 2,5" para o funcionamento da associação em paralelo Leq = 4,16 m
- (7) válvula globo de 2,5" Leq = 21 m
- (8) e (10) representação de corte no desenho da tubulação
- (11) saída da tubulação Leq = 1,9 m
- (I) e (II) bombas centrífugas radiais que apresentam as informações nos gráficos em anexo.

Nota:

Os trechos de (1) a (6) e de (16) a (6) são idênticos e a tubulação é de aço considerada nova



Solução

Trata-se de uma instalação com duas entradas e uma saída, adotando-se o PHR nos níveis de captação, tem-se:

$$\gamma \times Q_{ap} \times H_{\text{S}_{ap}} = \gamma \times Q_{ap} \times H_{\text{distribuição}} + 2 \times \gamma \times \frac{Q_{a}}{2} \times H_{p_{3"}} + 2 \times \gamma \times \frac{Q_{a}}{2} \times H_{p_{dB-6}} + \gamma \times Q_{a} \times H_{p_{6-11}}$$

Dividindo-se todos os membros por $\gamma_x Q_a$ resulta:

$$\begin{split} &H_{sa} = H_{distribuição} + H_{p_{3"}} + H_{p_{depoisda\,bombaat\'e\,6}} + H_{p_{6-11}} \\ &H_{p_{3"}} \rightarrow calculado\ para \frac{Q_a}{2} \\ &H_{p_{depoisda\,bombaat\'e\,6}} \rightarrow calculado\ para \frac{Q_a}{2} \\ &H_{p_{6-11}} \rightarrow calculado\ para\ Q_a \end{split}$$

$$\begin{split} H_{p_{3"}} &= f_{3"}_{p/Q_{a/2}} \times \frac{\left(3 + 20 + 2,82\right)}{0,0779} \times \frac{\left(Q_{a/2}\right)^2}{19,6 \times \left(47,7 \times 10^{-4}\right)^2} \\ H_{p_{3"}} &= f_{3"}_{p/Q_{a/2}} \times 185808,7 \times Q_a^2 \\ H_{p_{2.5"dB-6}} &= f_{2.5"}_{p/Q_{a/2}} \times \frac{\left(3 + 8,1 + 2,35 + 0,4\right)}{0,0627} \times \frac{\left(Q_a/2\right)^2}{19,6 \times \left(30,9 \times 10^{-4}\right)^2} \\ H_{p_{2.5"dB-6}} &= f_{2.5"}_{p/Q_{a/2}} \times 295086,5 \times Q_a^2 \\ H_{p_{2.5"6-11}} &= f_{2.5"}_{p/Q_a} \times \frac{\left(90 + 4,16 + 21 + 2,35 + 1,9\right)}{0,0627} \times \frac{\left(Q_a/2\right)^2}{19,6 \times \left(30,9 \times 10^{-4}\right)^2} \\ H_{p_{2.5"6-11}} &= f_{2.5"}_{p/Q_a/2} \times 10176539,7 \times Q_a^2 \end{split}$$

$$H_{S_{ap}} = 19 + f_{3"_{p}/Q_{a/2}} \times 185808, 7 \times Q_{a}^{2} + f_{2,5"_{p}/Q_{a/2}} \times 295086, 5 \times Q_{a}^{2} + f_{2,5"_{p}/Q_{a}} \times 10176539, 7 \times Q_{a}^{2}$$



A partir deste ponto determinamos os coeficientes de perda de carga distribuída e traçamos a CCI e CCB para obtenção do ponto de trabalho.

propriedades do fluido transportado temp (°C) (kg/ms) (kg/m³)pv (Pa) v (m²/s) 1,004E-06 20 1,00E-03 998,2 propriedades do local 9,8 m/s² g =Pa patm = mat. tubo

Para 3"

```
mat. tubo
aço

espessura Dint (mm) A (cm²)
40 77,9 47,7

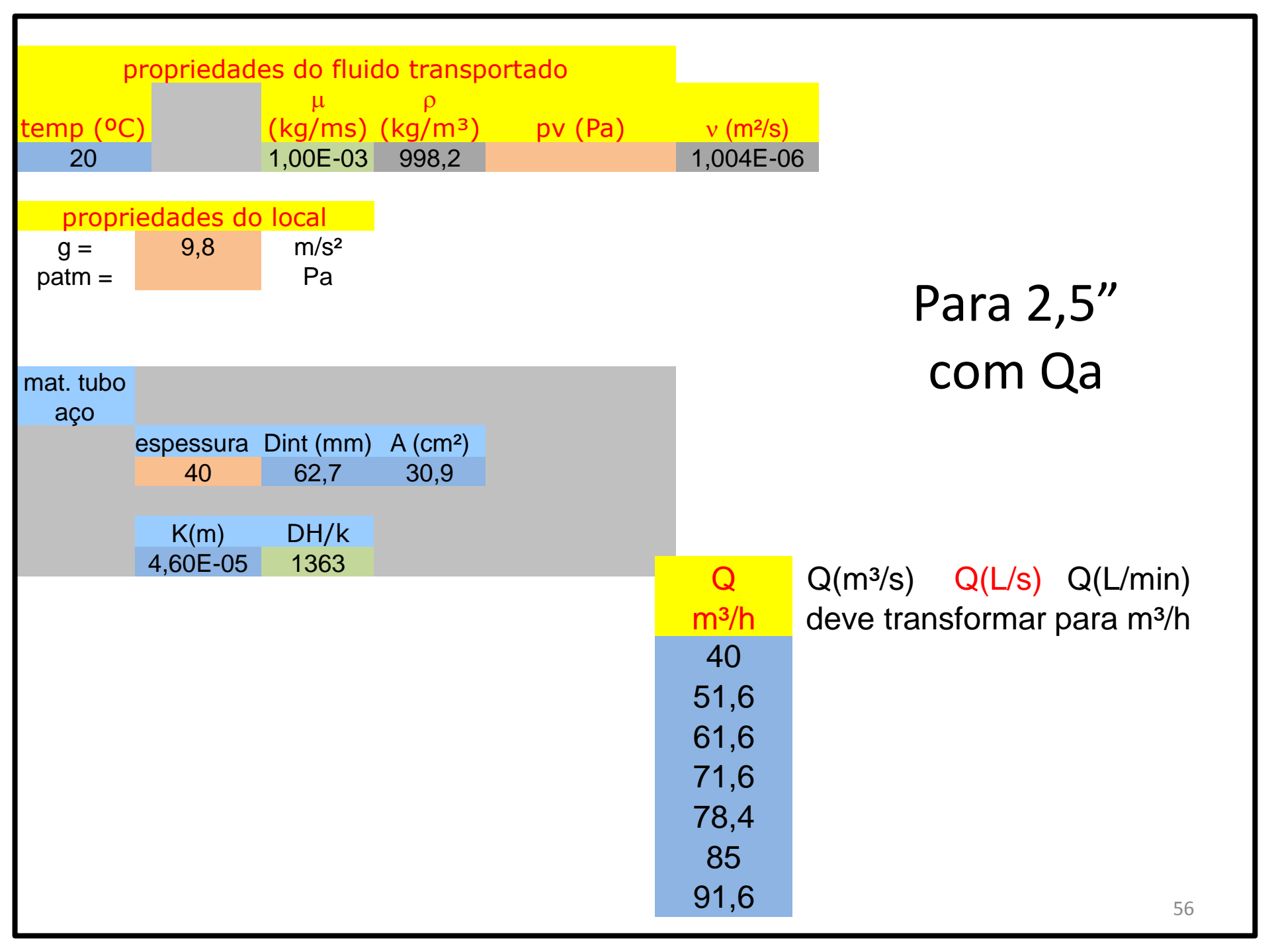
K(m) DH/k
4,60E-05 1693
```

Q (m³/s) Q(L/s) Q(L/min) deve transformar para m³/h
20
25,8
30,8
35,8
39,2
42,5
45,8

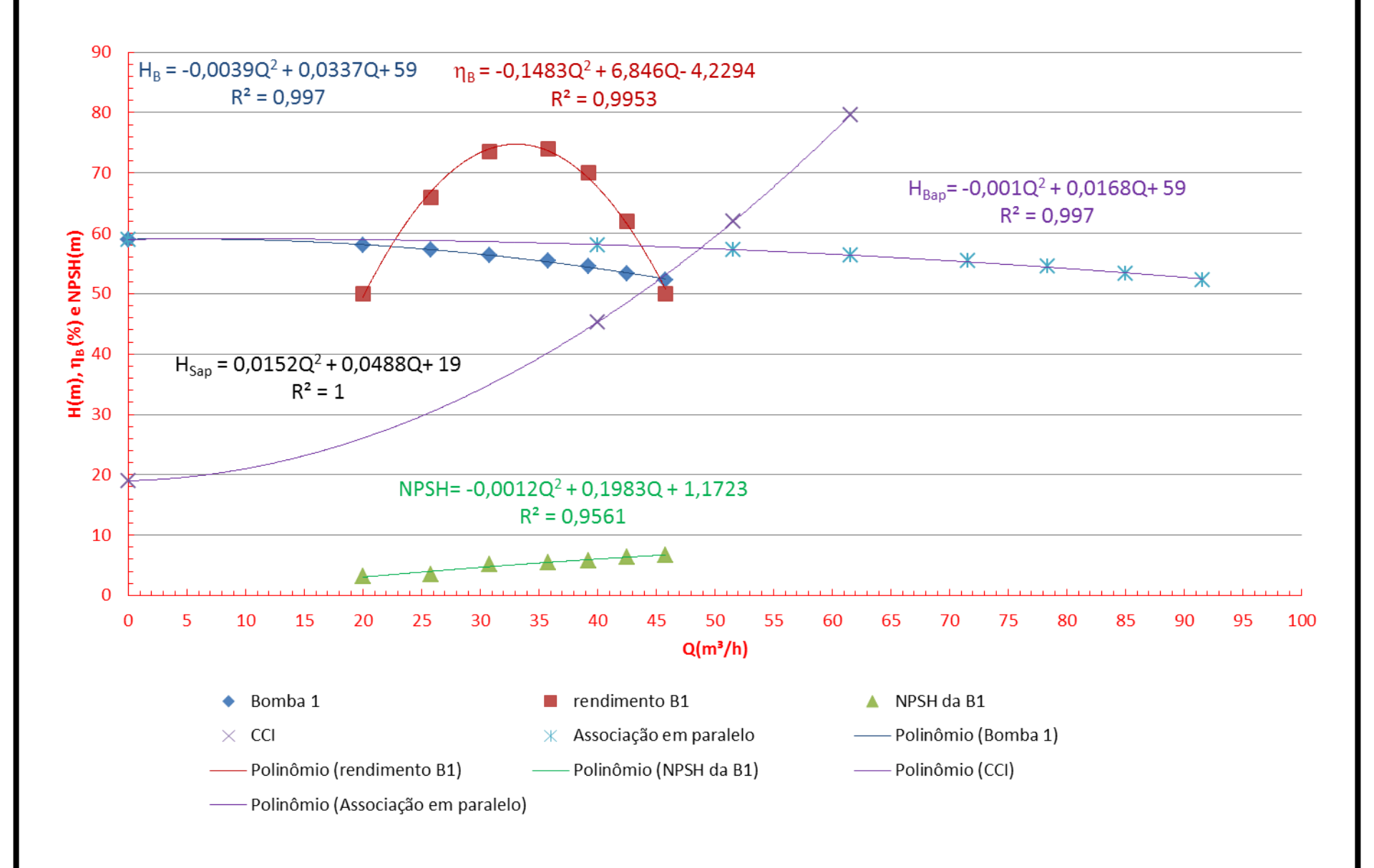
Q(m³/h)	v(m/s)	Re	f _{Haaland}	f _{Swamee e Jain}	f _{Churchill}	f _{planilha}
20,0	1,16	90368	0,0207	0,0211	0,0211	0,0209
25,8	1,50	116574	0,0201	0,0204	0,0204	0,0203
30,8	1,79	139166	0,0197	0,0200	0,0201	0,0199
35,8	2,08	161758	0,0194	0,0198	0,0198	0,0196
39,2	2,28	177121	0,0193	0,0196	0,0196	0,0195
42,5	2,47	192031	0,0191	0,0195	0,0195	0,0193
45,8	2,67	206942	0,0190	0,0193	0,0193	0,0192

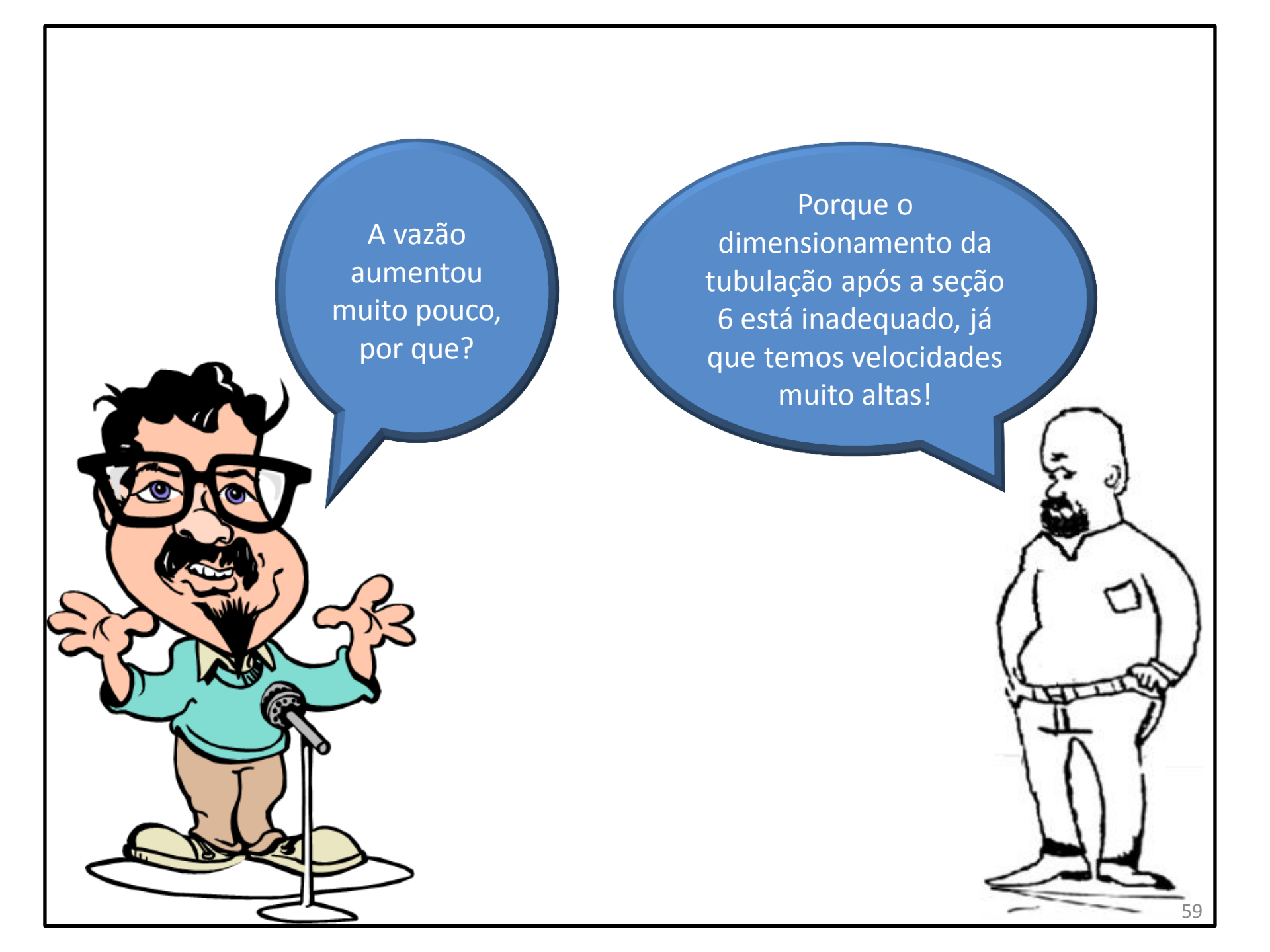
propriedades do fluido transportado temp (°C) (kg/ms) (kg/m³)pv (Pa) v (m²/s) 1,00E-03 20 998,2 1,004E-06 propriedades do local 9,8 m/s² g =Pa patm = Para 2,5" com Qa/2 mat. tubo aço espessura Dint (mm) A (cm²) 40 62,7 30,9 DH/k K(m) 4,60E-05 1363 $Q(m^3/s)$ Q(L/s) Q(L/min)Q deve transformar para m³/h m³/h 20 25,8 30,8 35,8 39,2 42,5 45,8 54

Q(m³/h)	v(m/s)	Re	f _{Haaland}	f _{Swamee} e Jain	f _{Churchill}	f planilha
20,0	1,80	112280	0,0207	0,0211	0,0211	0,0210
25,8	2,32	144841	0,0202	0,0206	0,0206	0,0205
30,8	2,77	172911	0,0200	0,0203	0,0203	0,0201
35,8	3,22	200981	0,0197	0,0201	0,0201	0,0199
39,2	3,52	220069	0,0196	0,0199	0,0199	0,0198
42,5	3,82	238595	0,0195	0,0198	0,0198	0,0197
45,8	4,12	257121	0,0194	0,0197	0,0197	0,0196



Q(m³/h)	v(m/s)	Re	f _{Haaland}	f _{Swamee e Jain}	f _{Churchill}	f planilha
40,0	3,60	224560	0,0196	0,0199	0,0199	0,0198
51,6	4,64	289683	0,0193	0,0196	0,0196	0,0195
61,6	5,54	345823	0,0192	0,0194	0,0194	0,0193
71,6	6,44	401963	0,0190	0,0193	0,0193	0,0191
78,4	7,05	440138	0,0190	0,0192	0,0192	0,0191
85,0	7,64	477190	0,0189	0,0191	0,0191	0,0190
91,6	8,23	514243	0,0189	0,0191	0,0191	0,0190





Proponha alterações na instalação anterior para melhorar a vazão obtida com a associação em paralelo e resolva os itens c) e d) novamente. Resolva também o item a) e b) e compare as CCIs para o funcionamento da bomba só e para a associação em paralelo.

